

最新結果を踏まえた コライダー実験の将来展望

大阪大学・花垣和則

高エネルギー物理学将来計画検討小委員会

コメント

- ❖ 湯川秀樹「一つの学問には必ず、新しい仮説が
どんどん生まれるロマンチックな時代と、重箱
の隅をつつくような細かい研究が続くアカデミ
ズムの時代がある」
 - ▶ 実験家
 - ◎ 過去30年間重箱の隅をつついている
 - ◎ ロマンチックな時代の幕開けは近い (はず)
- ❖ コライダー実験の将来はバラ色 (のはず)

コライダー実験の めざすもの

Lagrangian in the GWS Model

$$\begin{aligned}
 \mathcal{L} = & \bar{\nu}(i \not{\partial} - m_\nu)\nu + \bar{l}(i \not{\partial} - m_l)l + \frac{1}{2}(\partial_\mu\chi\partial^\mu\chi - \mu^2\chi^2) \\
 & - \frac{1}{4}F_{\mu\nu}^i F^{i\mu\nu} + m_W^2 W_{+\mu}^* W_+^\mu - \frac{1}{4}G_{\mu\nu}G^{\mu\nu} + \frac{m_Z^2}{2}Z_\mu Z^\mu \\
 & + eA_\mu(\bar{l}\gamma^\mu l) - \frac{g}{\sqrt{2}}[W_+^\mu(\bar{\nu}\gamma^\mu P_L l) + c.c.] \\
 & - \bar{g}Z_\mu[\bar{\nu}\gamma^\mu(s_{\nu L}P_L + s_{\nu R}P_R)\nu + \bar{l}\gamma^\mu(s_{l L}P_L + s_{l R}P_R)l] \\
 & + \frac{2v\chi + \chi^2}{4}(g^2 W_{+\mu}^* W_+^\mu + \frac{\bar{g}^2}{2}Z_\mu Z^\mu) \\
 & - \frac{m_l}{v}\chi(\bar{l}l) - \frac{m_\nu}{v}\chi(\bar{\nu}\nu) \\
 & + \dots
 \end{aligned}$$

Lagrangian in the GWS Model

$$\begin{aligned}\mathcal{L} = & \bar{\nu}(i \not{\partial} - m_\nu)\nu + \bar{l}(i \not{\partial} - m_l)l + \frac{1}{2}(\partial_\mu\chi\partial^\mu\chi - \mu^2\chi^2) \\ & - \frac{1}{4}F_{\mu\nu}^i F^{i\mu\nu} + m_W^2 W_{+\mu}^* W_+^\mu - \frac{1}{4}G_{\mu\nu}G^{\mu\nu} + \frac{m_Z^2}{2}Z_\mu Z^\mu\end{aligned}$$

わかった気になるのは早過ぎ

$$\begin{aligned}& - \bar{g}Z_\mu[\bar{\nu}\gamma^\mu(s_{\nu L}P_L + s_{\nu R}P_R)\nu + \bar{l}\gamma^\mu(s_{l L}P_L + s_{l R}P_R)l] \\ & + \frac{2v\chi + \chi^2}{4}(g^2 W_{+\mu}^* W_+^\mu + \frac{\bar{g}^2}{2}Z_\mu Z^\mu) \\ & - \frac{m_l}{v}\chi(\bar{l}l) - \frac{m_\nu}{v}\chi(\bar{\nu}\nu) \\ & + \dots\end{aligned}$$

怪し過ぎるヒッグスセクター

❖ ゲージ不変性から

▶ gauge boson massless

▶ fermion not necessarily massless

⇒ なぜ同じヒッグス機構？

❖ 湯川結合定数：新しい相互作用？

▶ 全てのフェルミオンに固有の値

⇒ なぜ結合する相手を認識できるのか？

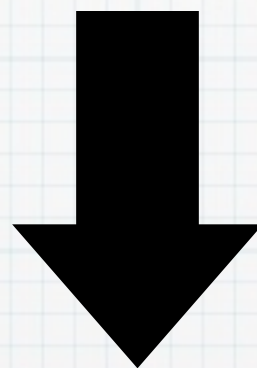
❖ スピンゼロ？

$$\begin{aligned}
\mathcal{L} = & \bar{\nu}(i \not{\partial} - m_\nu)\nu + \bar{l}(i \not{\partial} - m_l)l + \frac{1}{2}(\partial_\mu \chi \partial^\mu \chi - \mu^2 \chi^2) \\
& - \frac{1}{4}F_{\mu\nu}^i F^{i\mu\nu} + m_W^2 W_{+\mu}^* W_+^\mu - \frac{1}{4}G_{\mu\nu} G^{\mu\nu} + \frac{m_Z^2}{2} Z_\mu Z^\mu \\
& + eA_\mu (\bar{l} \gamma^\mu l) - \frac{g}{\sqrt{2}} [W_+^\mu (\bar{\nu} \gamma^\mu P_L l) + c.c.] \\
& - \bar{g} Z_\mu [\bar{\nu} \gamma^\mu (s_{\nu L} P_L + s_{\nu R} P_R)\nu + \bar{l} \gamma^\mu (s_{l L} P_L + s_{l R} P_R)l] \\
& + \frac{2v\chi + \chi^2}{4} (g^2 W_{+\mu}^* W_+^\mu + \frac{\bar{g}^2}{2} Z_\mu Z^\mu) \\
& - \frac{m_l}{v} \chi (\bar{l} l) - \frac{m_\nu}{v} \chi (\bar{\nu} \nu) \\
& + \dots
\end{aligned}$$

ヒッグスの物理が新しい

GWS模型を超えて

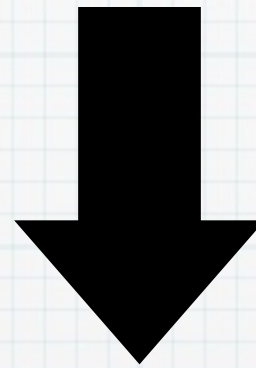
- ❖ ラグランジアンがそもそも美しくないっ
- ❖ 階層性問題



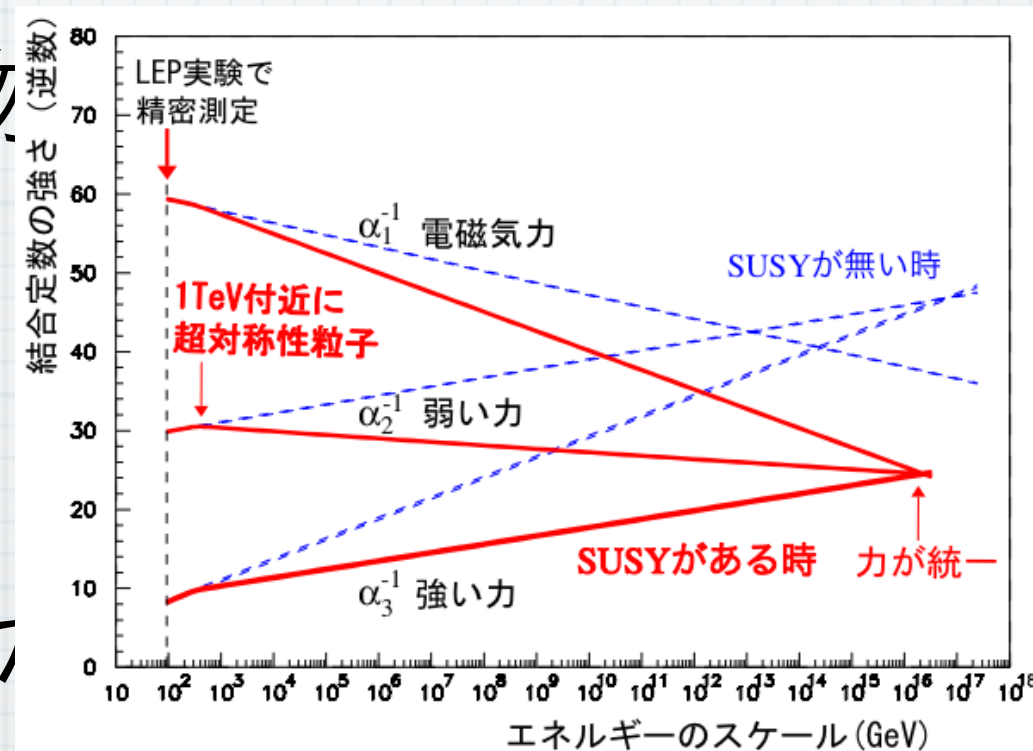
- ❖ いわゆる”新しい物理”：超対称性, 余剰次元, ...
 - ▶ 力の大統一 → 重力も含めた超大統一？
 - ▶ 暗黒物質
 - ▶ 反物質消滅の手がかり

GWS模型を超えて

- ❖ ラグランジアンがそもそも美しくないっ
- ❖ 階層性問題



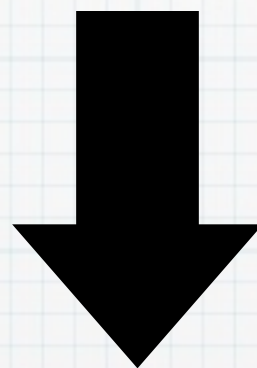
- ❖ いわゆる”新しい物”
 - ▶ 力の大統一 →
 - ▶ 暗黒物質
 - ▶ 反物質消滅の手



次元, ...
- ?

GWS模型を超えて

- ❖ ラグランジアンがそもそも美しくないっ
- ❖ 階層性問題



- ❖ いわゆる”新しい物理”：超対称性, 余剰次元, ...
 - ▶ 力の大統一 → 重力も含めた超大統一？
 - ▶ 暗黒物質
 - ▶ 反物質消滅の手がかり

GWS模型を超えて

- ❖ ラグランジアンがそもそも美しくないっ
- ❖ 階層性問題

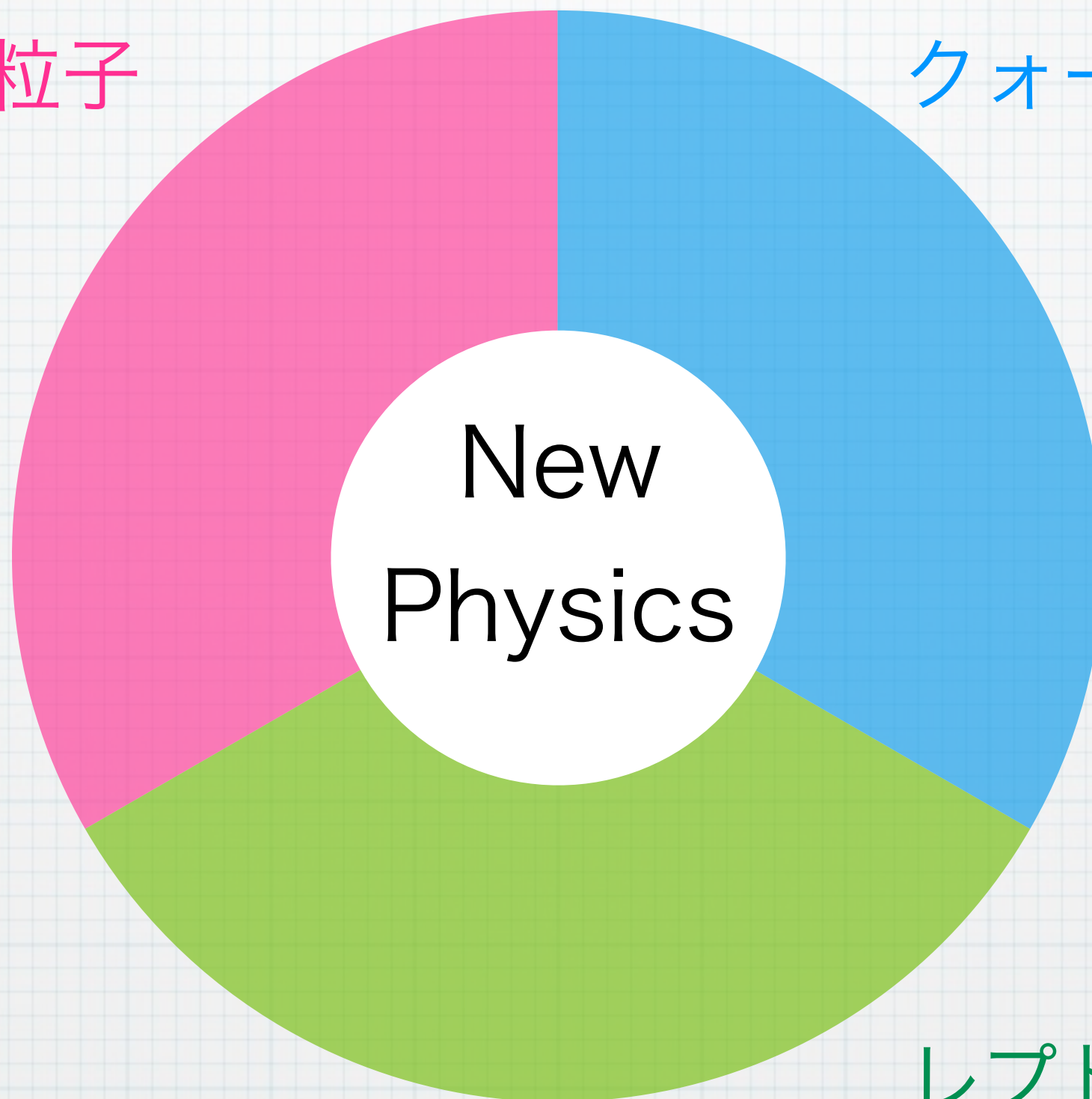
新しい物理の探索

- ❖ いわゆる”新しい物理”：超対称性, 余剰次元, ...
 - ▶ 力の大統一 → 重力も含めた超大統一？
 - ▶ 暗黒物質
 - ▶ 反物質消滅の手がかり

New Physics へ向けて

未知の粒子

クォークセクター



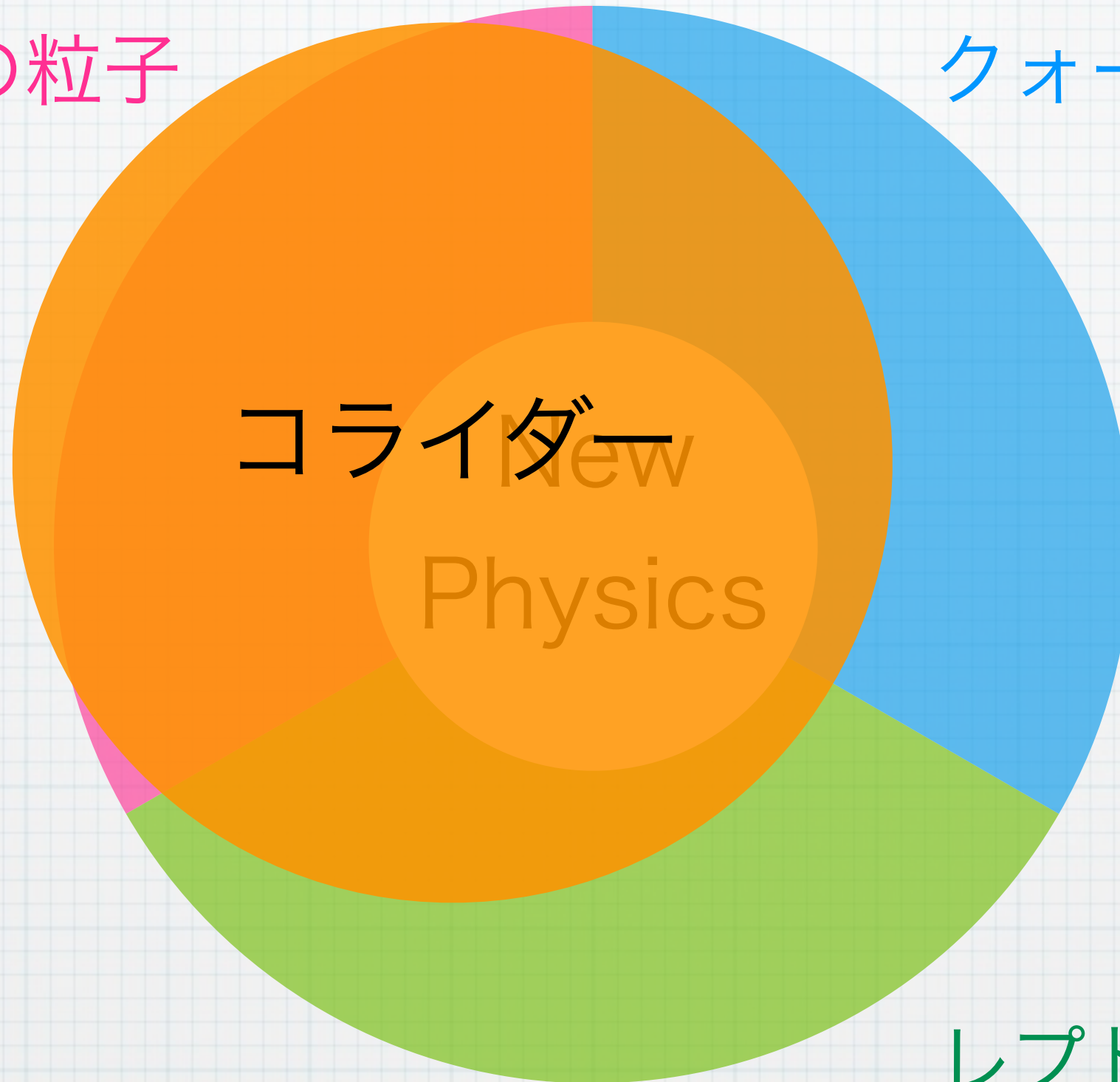
レプトンセクター

❖ 色々なところから攻める

New Physics へ向けて

未知の粒子

クォークセクター



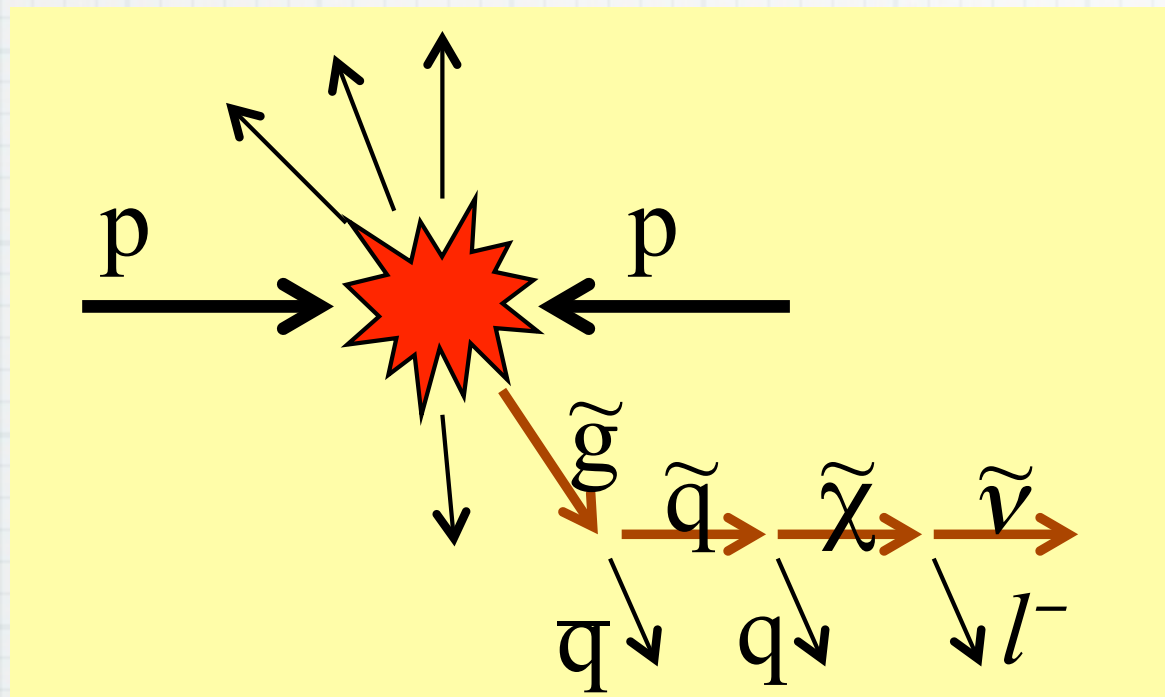
コライダー
New
Physics

レプトンセクター

❖ 色々なところから攻める

2つのアプローチ@コライダー

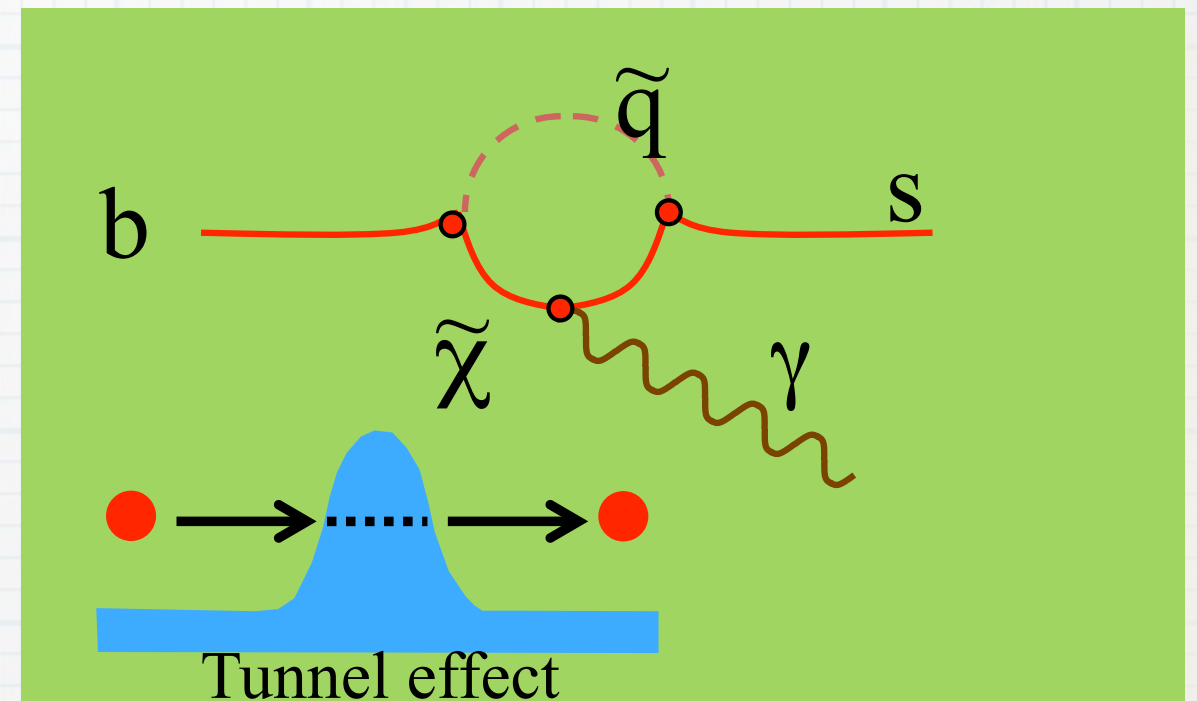
未知の粒子を直接生成



エネルギーフロンティア
多くの過去のコライダー

- LEP
- Tevatron/LHC
- ILC

未知の粒子の
量子補正への寄与



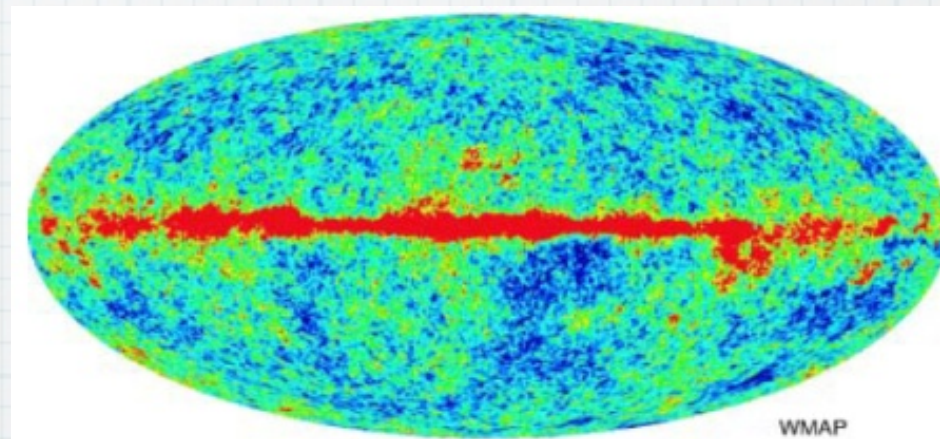
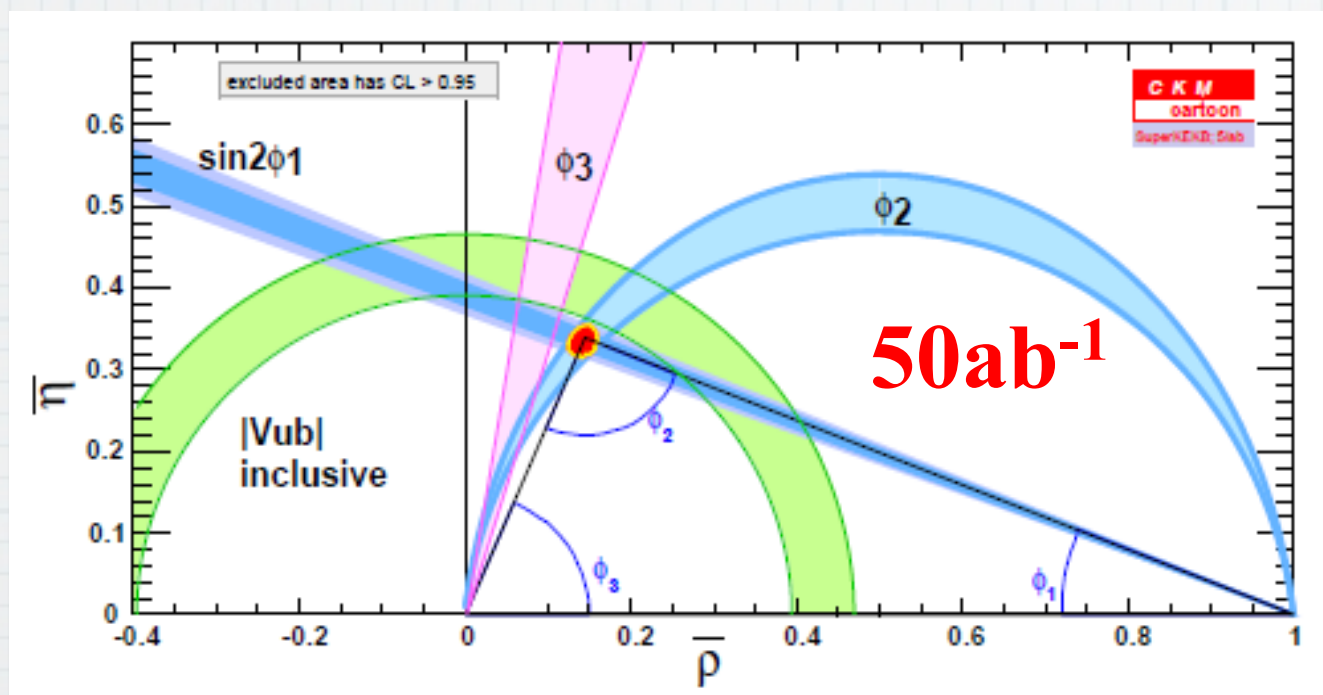
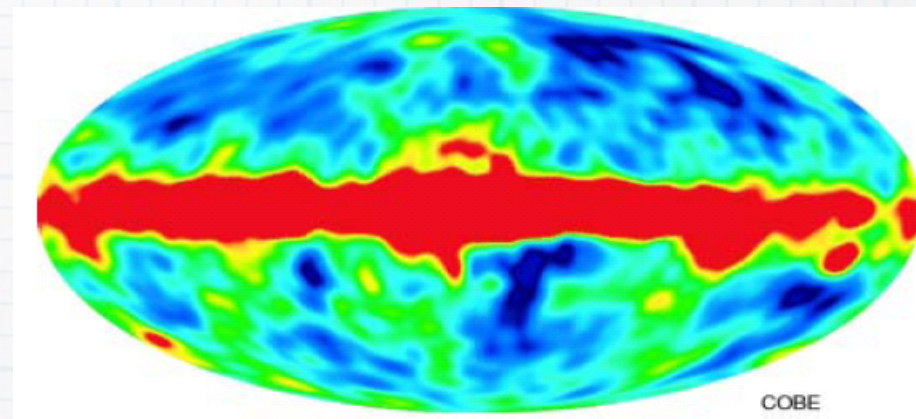
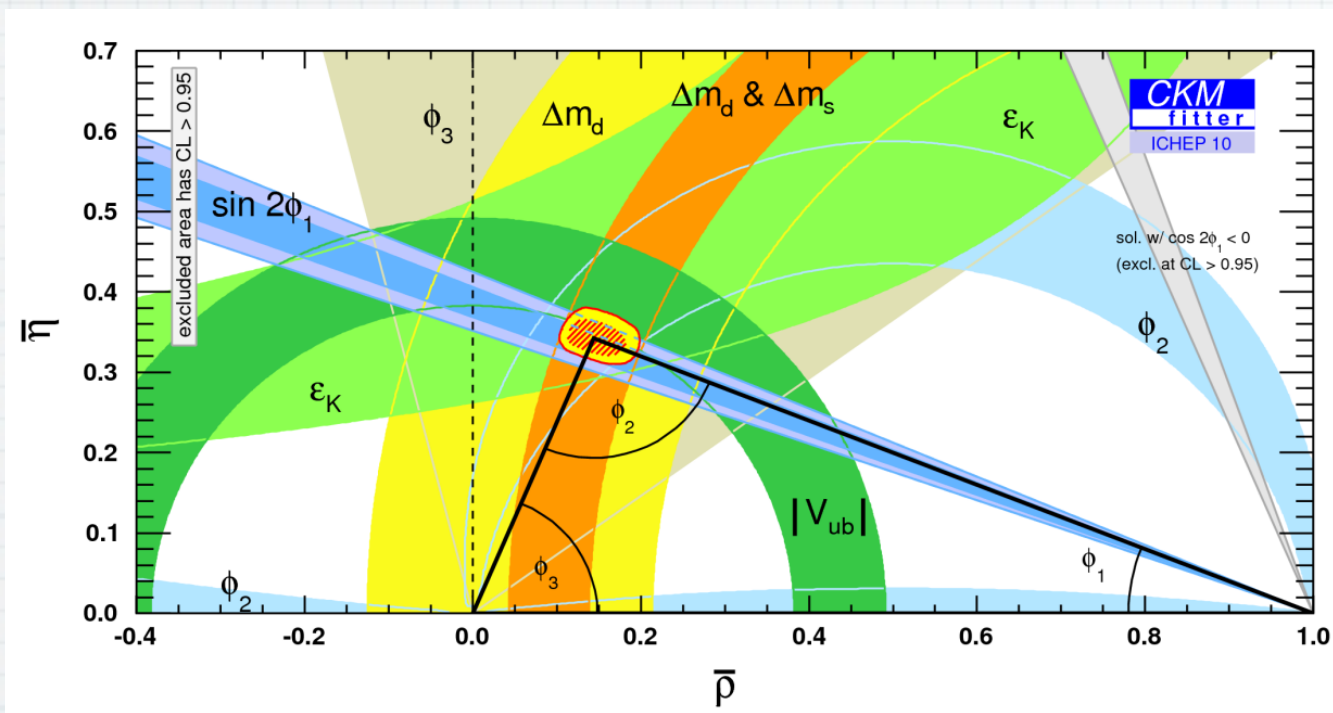
ルミノシティフロンティア

Bファクトリー

- CESR
- KEKB/PEP2
- SuperKEKB

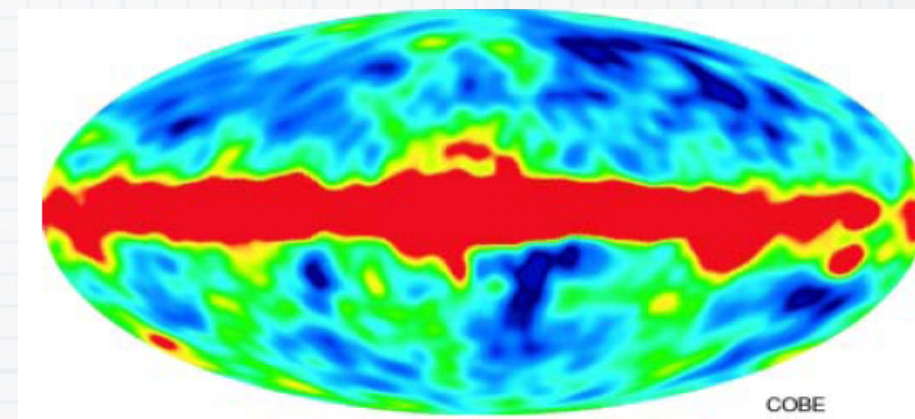
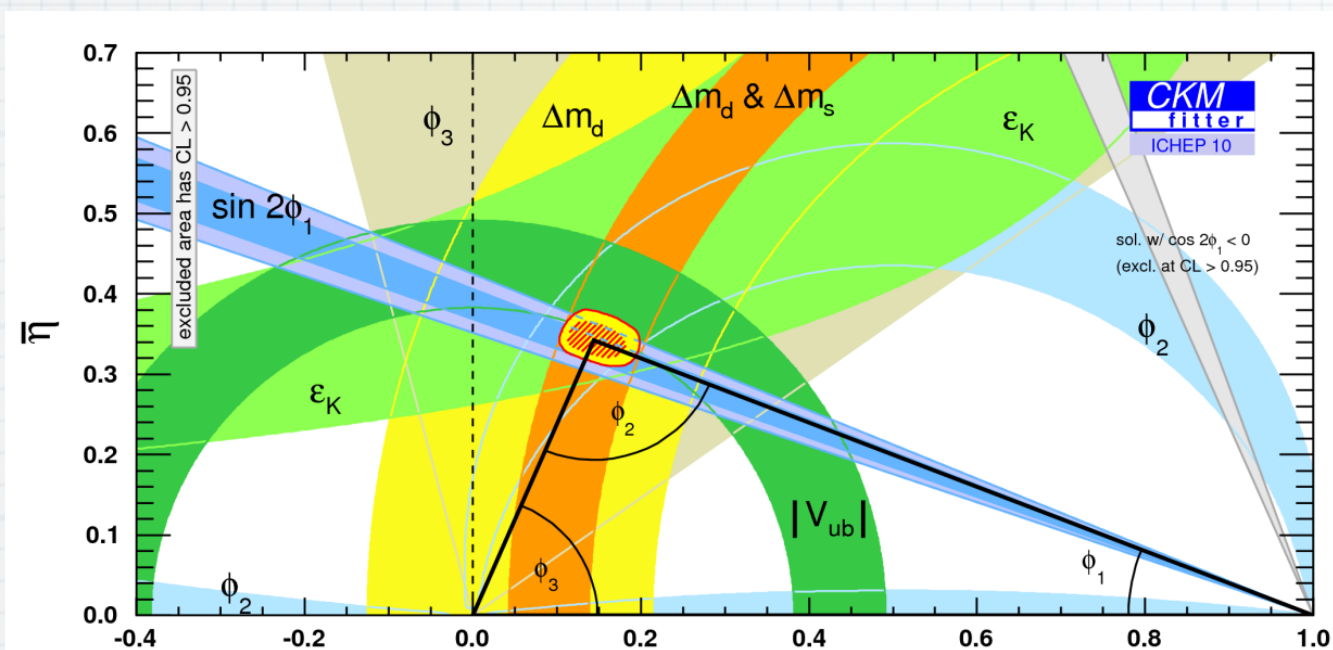
SuperKEKB

測定精度の向上で見えてくるもの

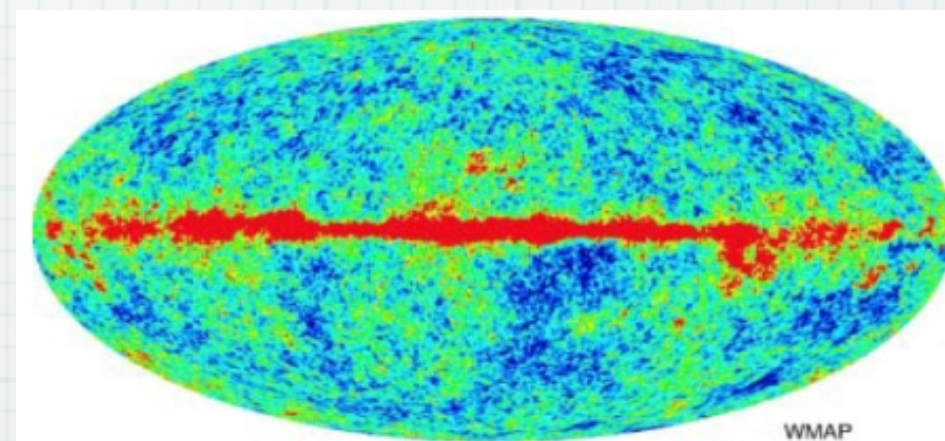
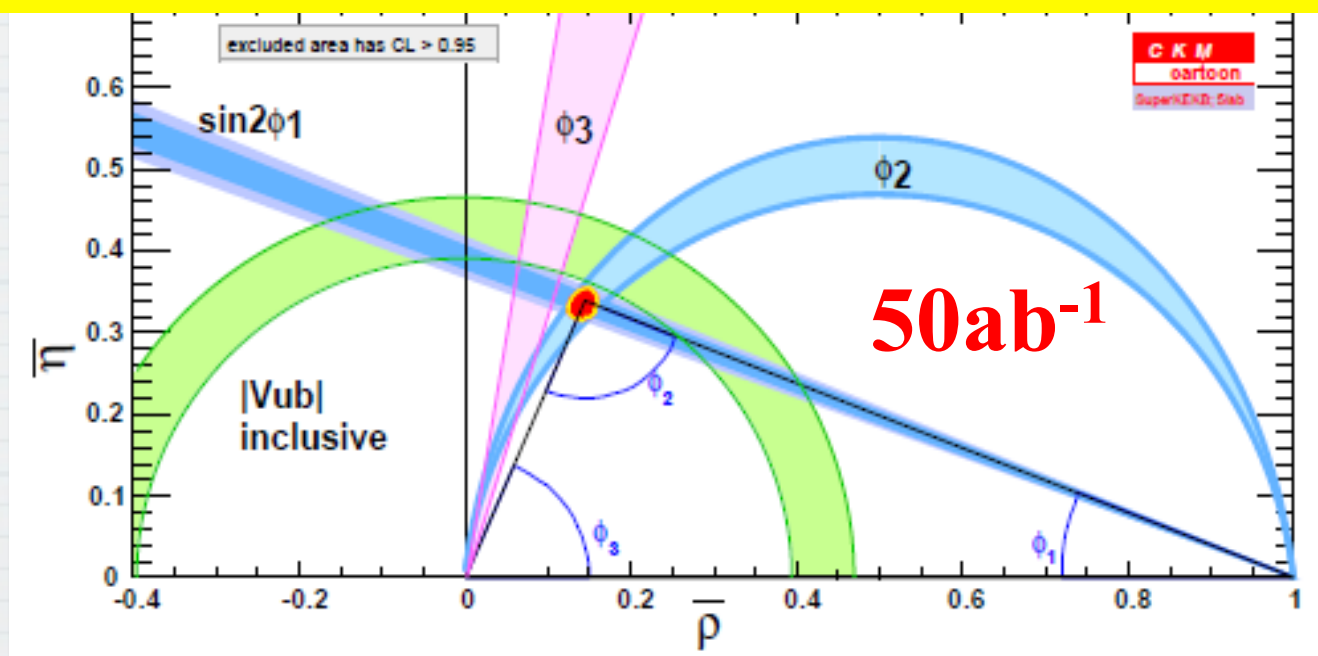


❖ 新しい物理の寄与の余地：10%程度

測定精度の向上で見えてくるもの

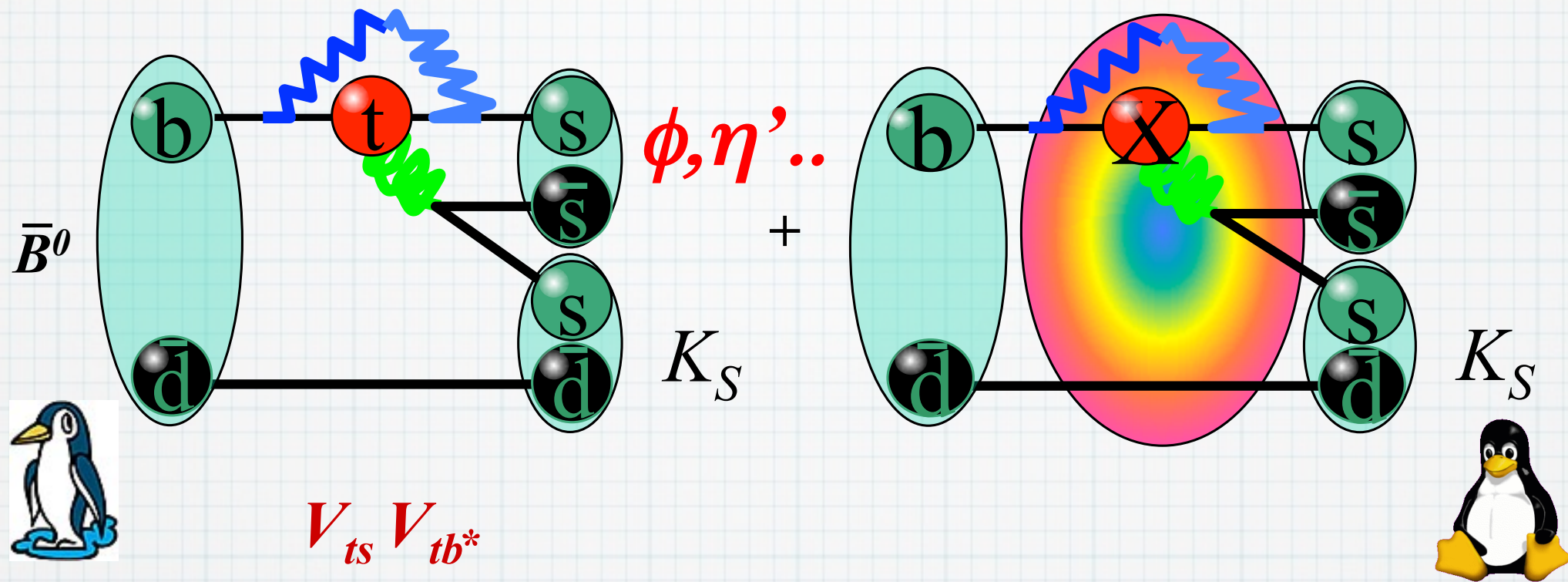


様々な崩壊モードを精査することが大事



❖ 新しい物理の寄与の余地：10%程度

新たなる複素位相を求めて

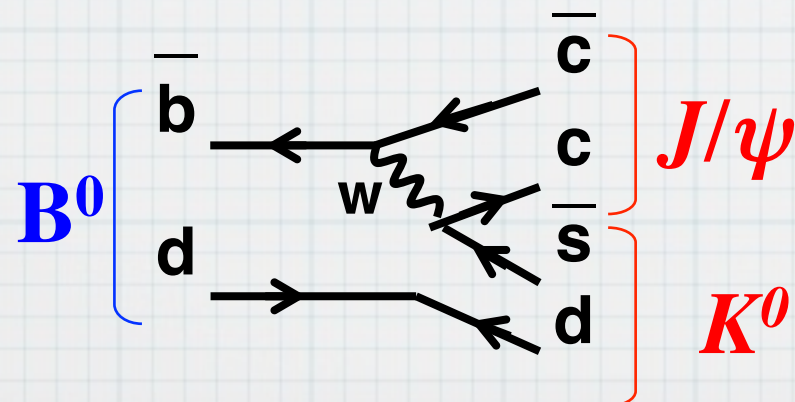


SM: $b \rightarrow s$ Penguin
 phase = $(c\bar{c}) K^0$

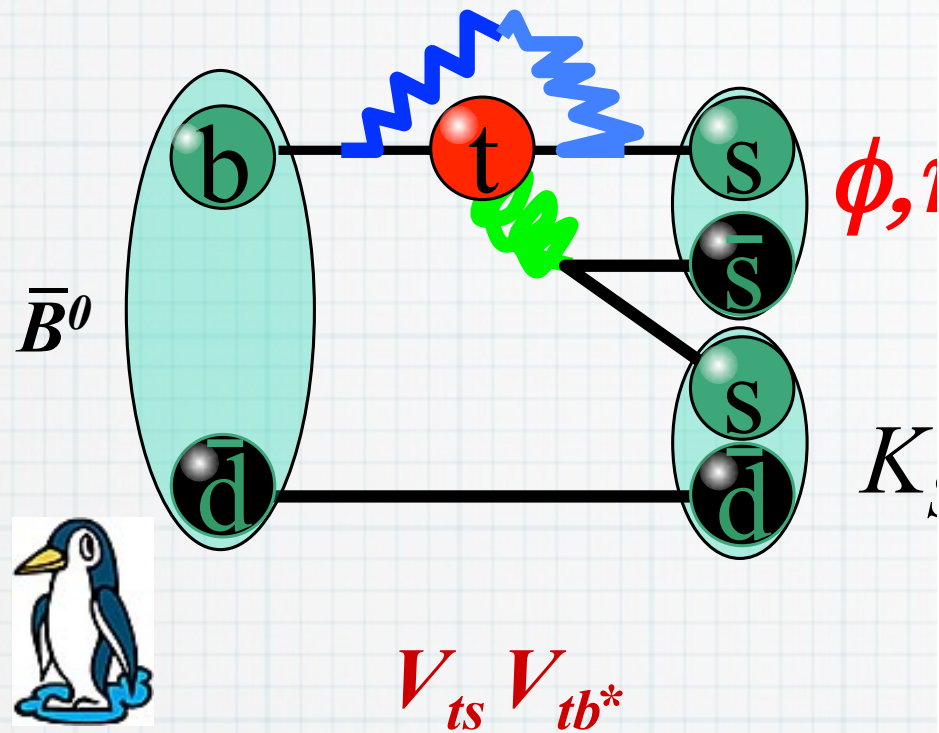
+ New Physics
 with New Phase

$S_{bs} \neq S_{bc}$, A_{DCP} can $\neq 0$

“ $b \rightarrow c\bar{c}s$: $\sin 2\phi_1$ ” (SM reference) \Rightarrow deviation

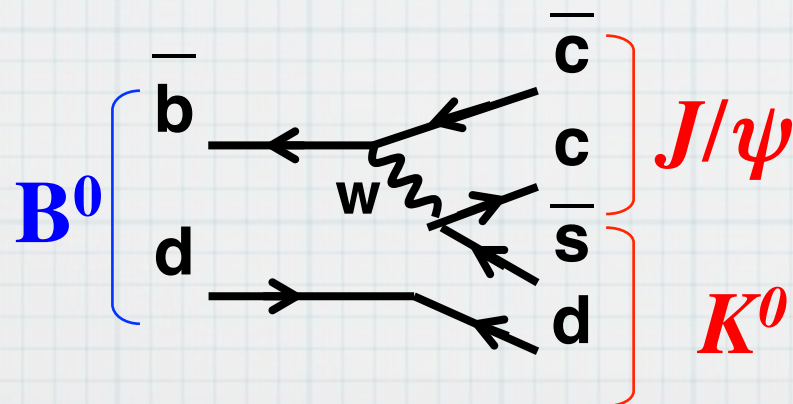


新たなる複素位相を求めて

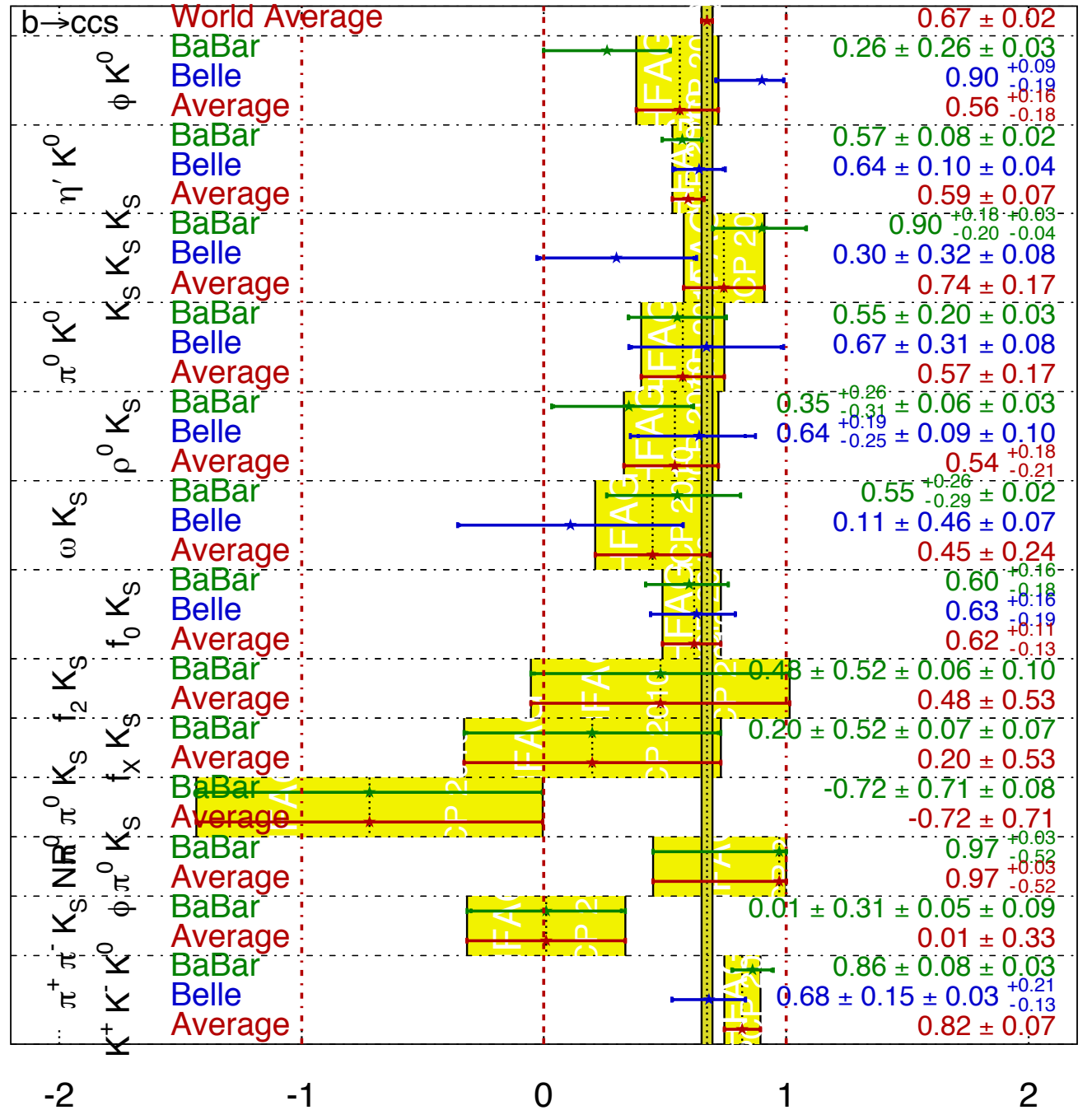


SM: $b \rightarrow s$ Penguin phase = $(c\bar{c}) K^0$

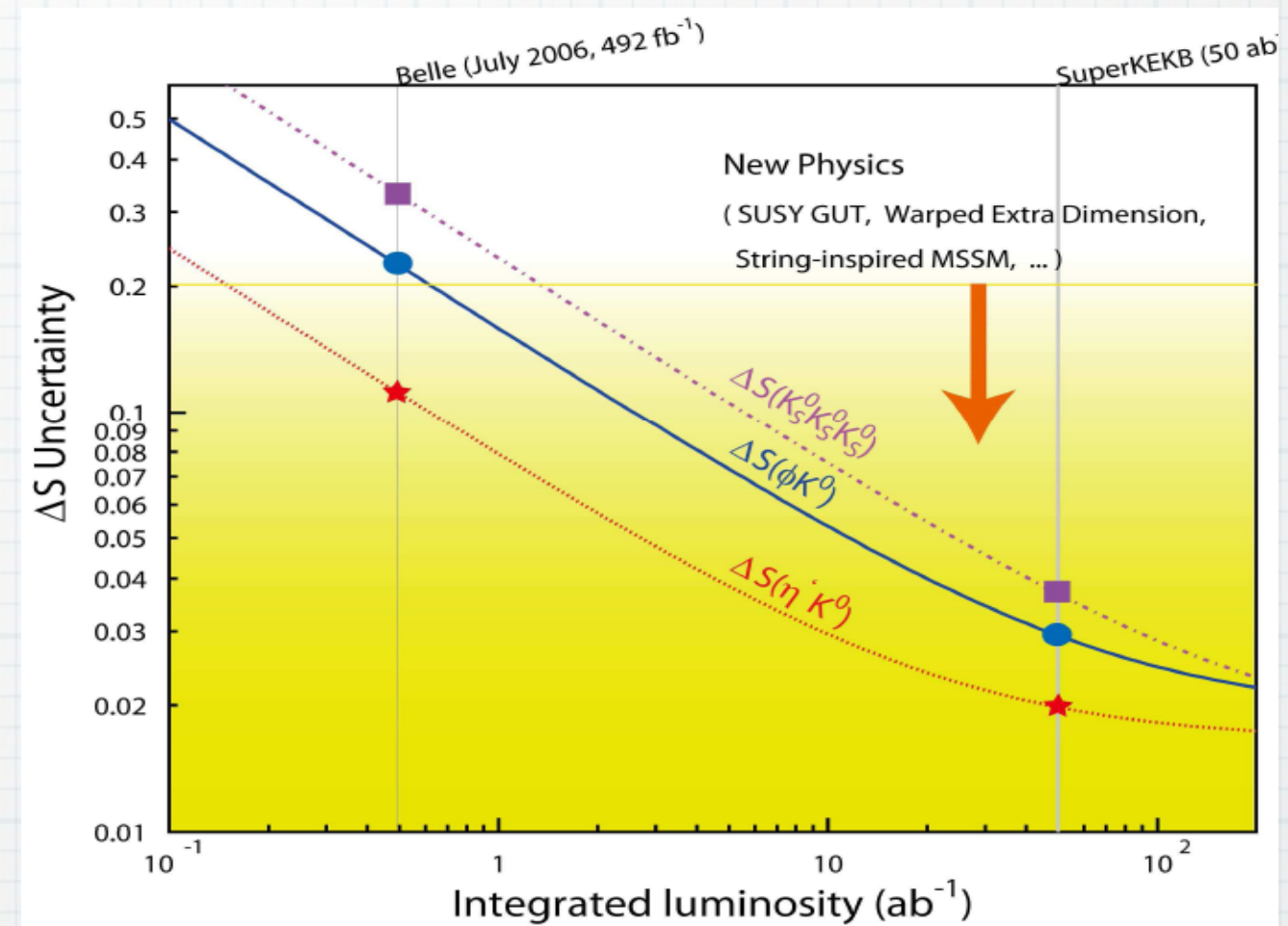
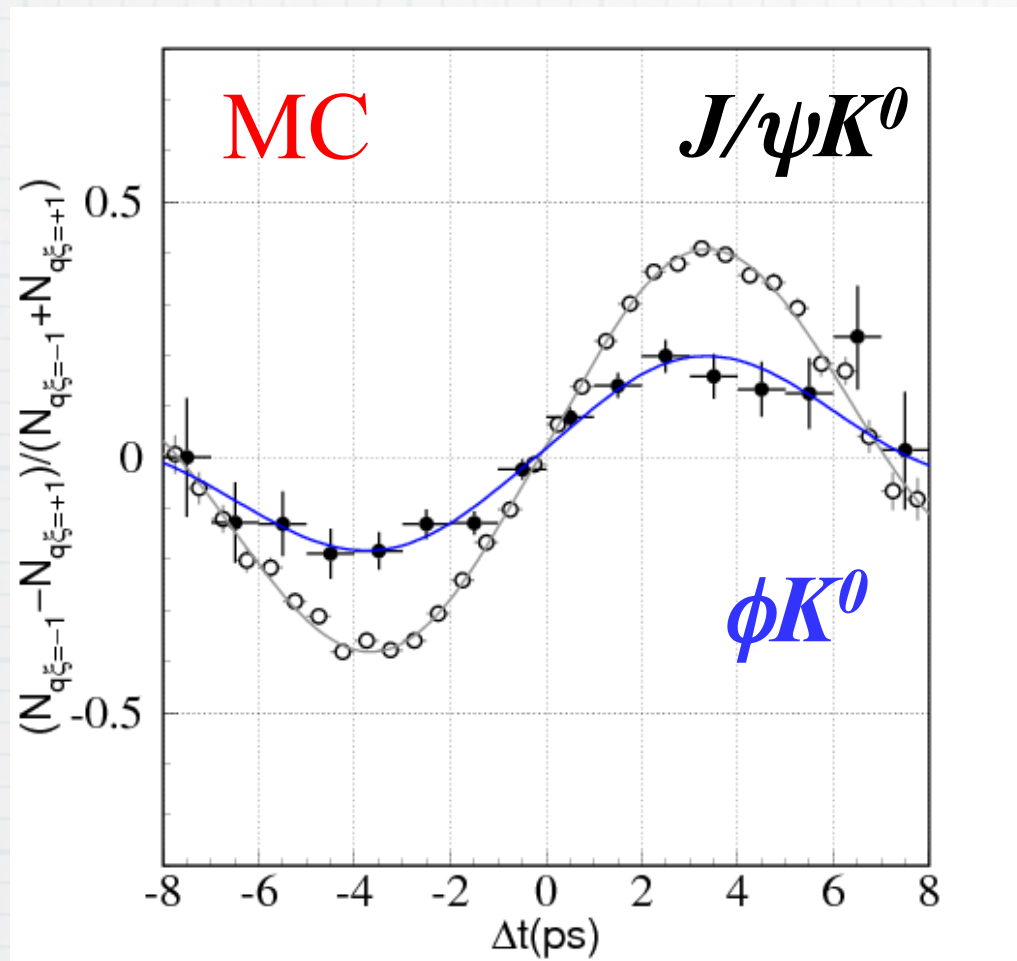
“ $b \rightarrow c\bar{c}s: \sin 2\phi_1$ ” (SM re)



$\sin(2\beta^{\text{eff}}) \equiv \sin(2\phi_1^{\text{eff}})$ **HFAG**
FPCP 2010
PRELIMINARY



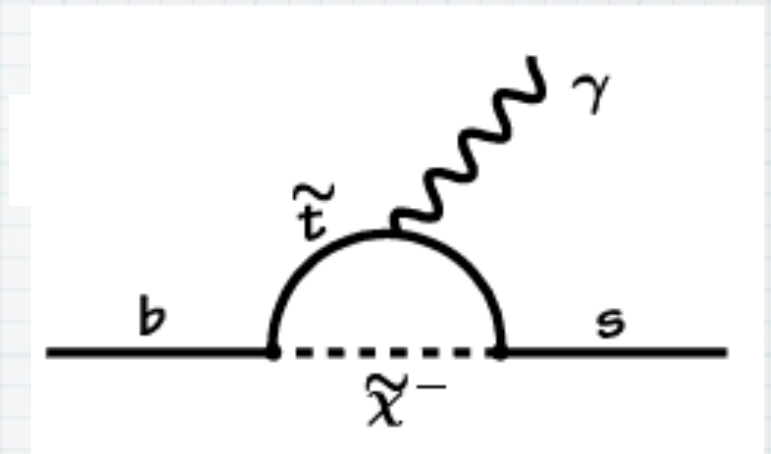
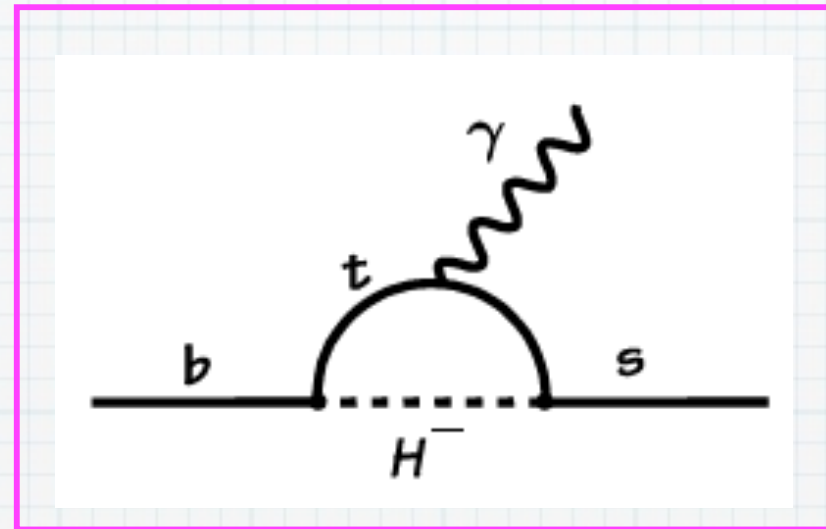
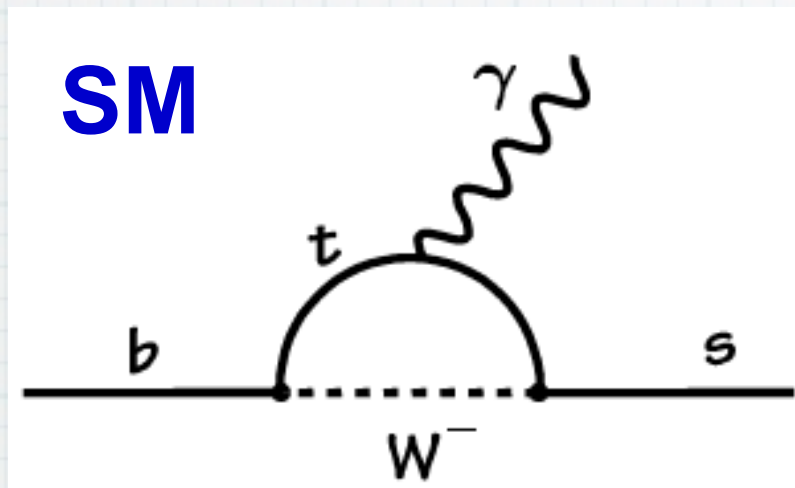
Prospect for $b \rightarrow sq\bar{q}$



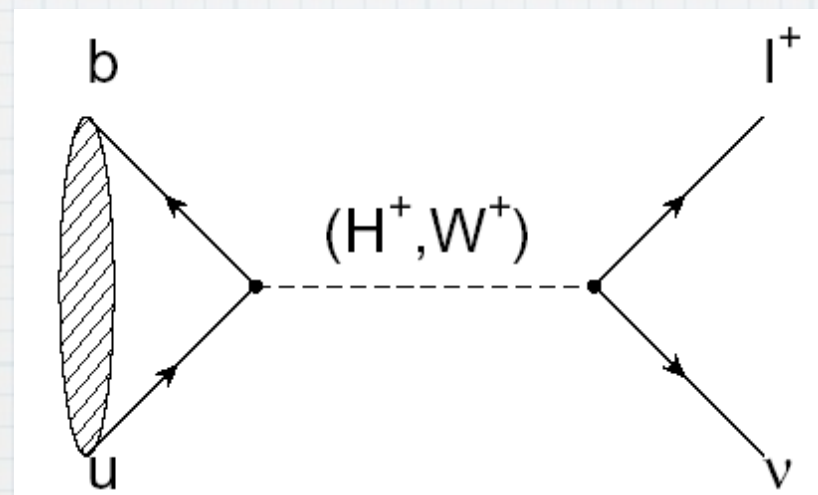
Prospect $\delta(S_{b \rightarrow s}) \sim 0.012 @ 50\text{ab}^{-1}$

Charged Higgs の探索

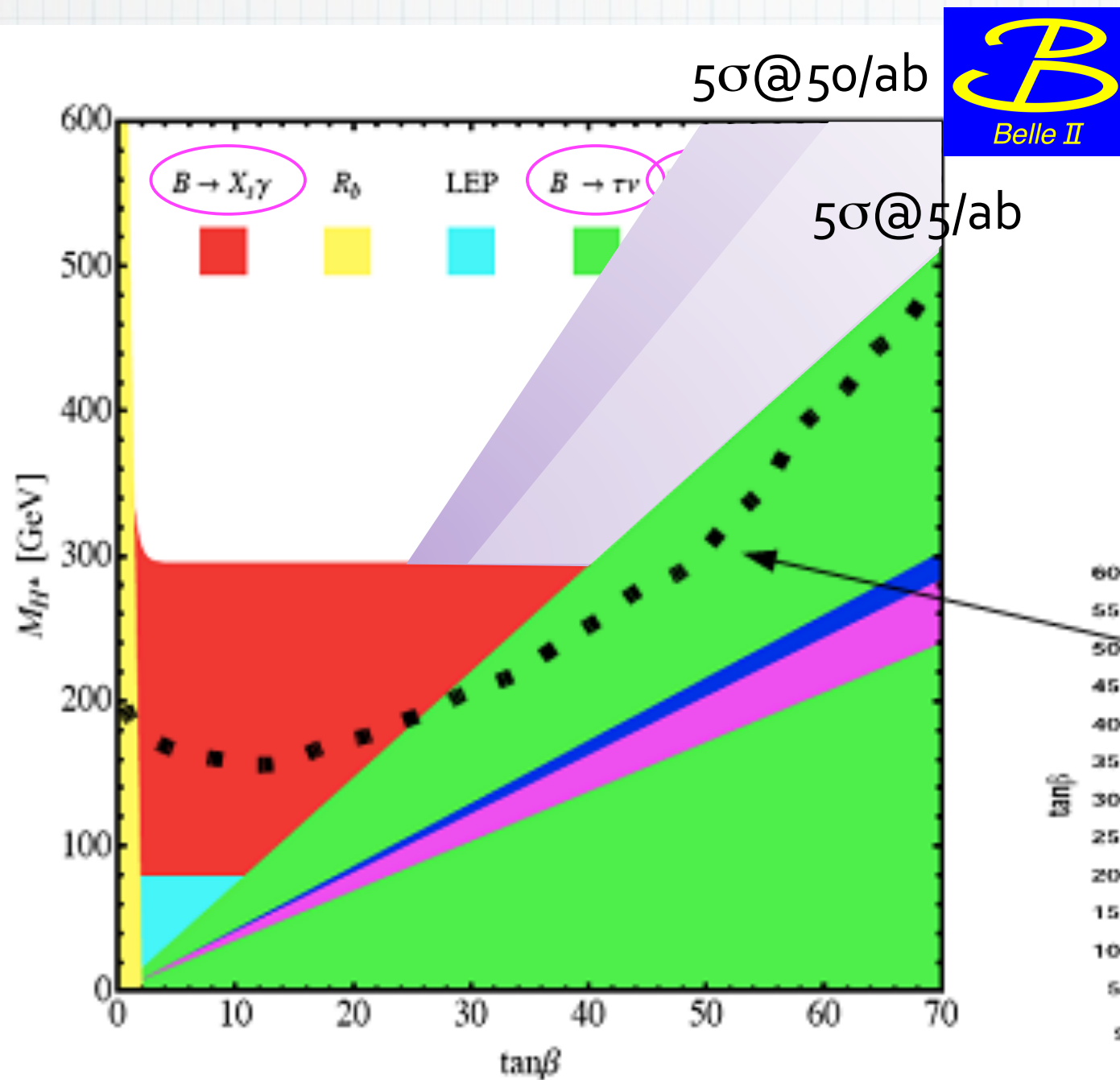
❖ $b \rightarrow s\gamma$



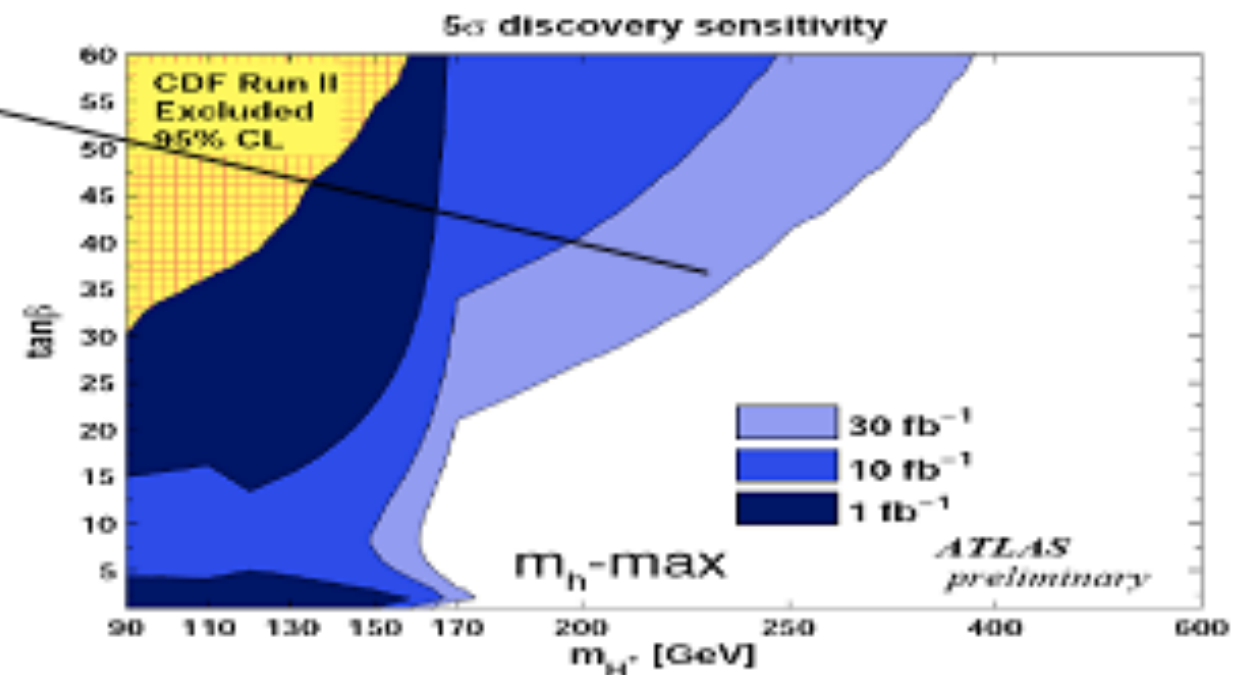
❖ $B \rightarrow \tau\nu$ $B \rightarrow D\tau\nu$



Charged Higgs Status and Prospects



ATLAS 30/fbで発見(5σ)可能な領域は、Flavor Physicsにより既に棄却(95%)されている。
 Belle IIでデータを貯めると、薄紫の領域なら5σで発見可能。



Prospectsのまとめ

	Belle'06 (~0.5ab ⁻¹)	5ab ⁻¹	50ab ⁻¹
$\Delta S(\phi K^0)$	0.22	0.073	0.029
$\Delta S(\eta' K^0)$	0.11	0.038	0.020
$\Delta S(K_S K_S K_S)$	0.33	0.105	0.037
$\Delta S(K_S \pi^0 \gamma)$	0.32	0.10	0.03
$Br(X_S \gamma)$	13%	7%	6%
$A_{CP}(X_S \gamma)$	0.058	0.01	0.005
$C_9 [A_{FB}(K^* II)]$	---	11%	4%
$C_{10} [A_{FB}(K^* II)]$	---	13%	4%
$Br(B^+ \rightarrow K^+ \nu \nu)$	<9Br(SM)	33ab ⁻¹ for 5 σ discovery	
$Br(B^+ \rightarrow \tau \nu)$	3.5 σ	10%	3%
$Br(B^+ \rightarrow \mu \nu)$	<2.4Br(SM)	4.3ab ⁻¹ for 5 σ discovery	
$Br(B^+ \rightarrow D \tau \nu)$	---	7.9%	2.5%
$Br(\tau \rightarrow \mu \gamma)$	<45	<30	<8
$Br(\tau \rightarrow \mu \eta)$	<65	<20	<4
$Br(\tau \rightarrow 3\mu)$	<209	<10	<1
$\Delta \sin 2\phi_1$	0.026	0.016	0.012
$\Delta \Phi_2 (\rho\pi)$	68°—95°	3°	1°
$\Delta \Phi_3 (\text{Dalitz})$	20°	7°	2.5°
$\Delta V_{ub} (\text{incl.})$	7.3%	6.6%	6.1%

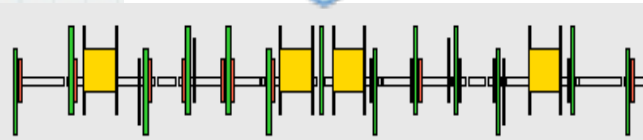
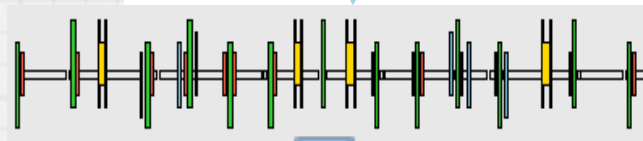
どこに何があるかわからないので、
 色々な崩壊を使い
 色々な物理量を測定
 することが重要

SuperKEKB and Belle II

Belle II

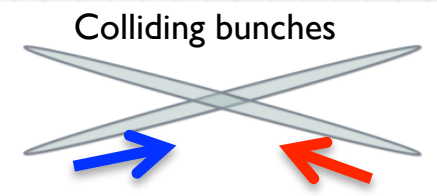
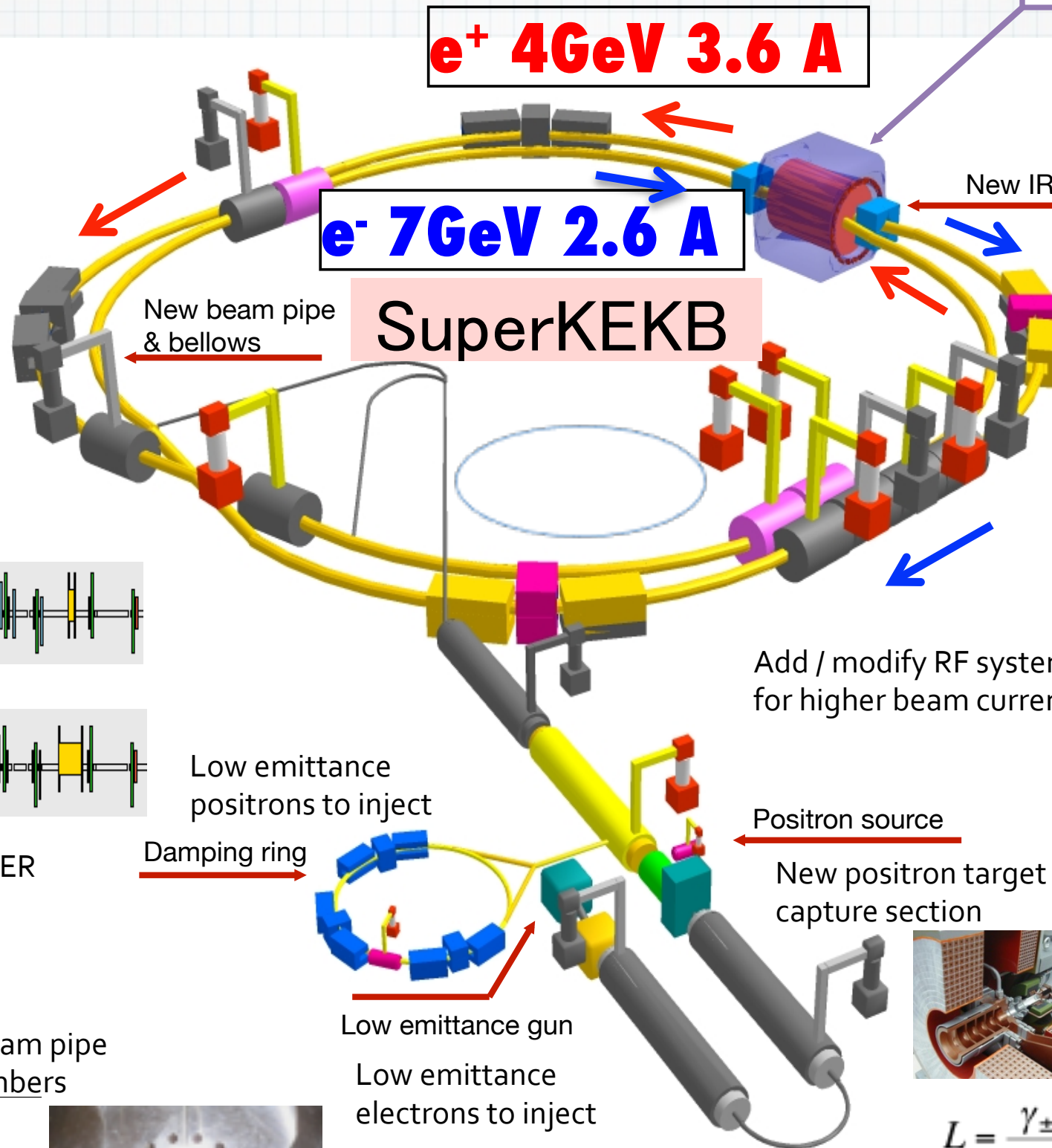
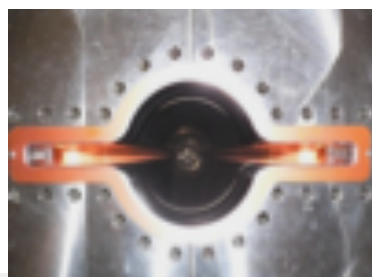
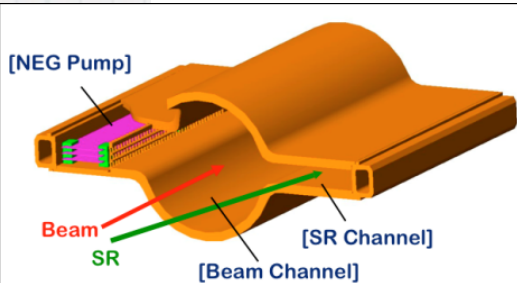


Replace short dipoles with longer ones (LER)



Redesign the lattices of HER & LER to squeeze the emittance

TiN-coated beam pipe with antechambers



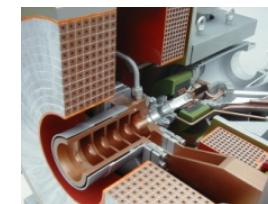
Colliding bunches
New superconducting / permanent final focusing quads near the IP



Add / modify RF systems for higher beam current

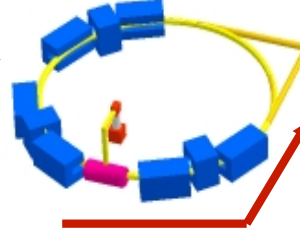
Positron source

New positron target / capture section



Low emittance positrons to inject

Damping ring



Low emittance gun

Low emittance electrons to inject

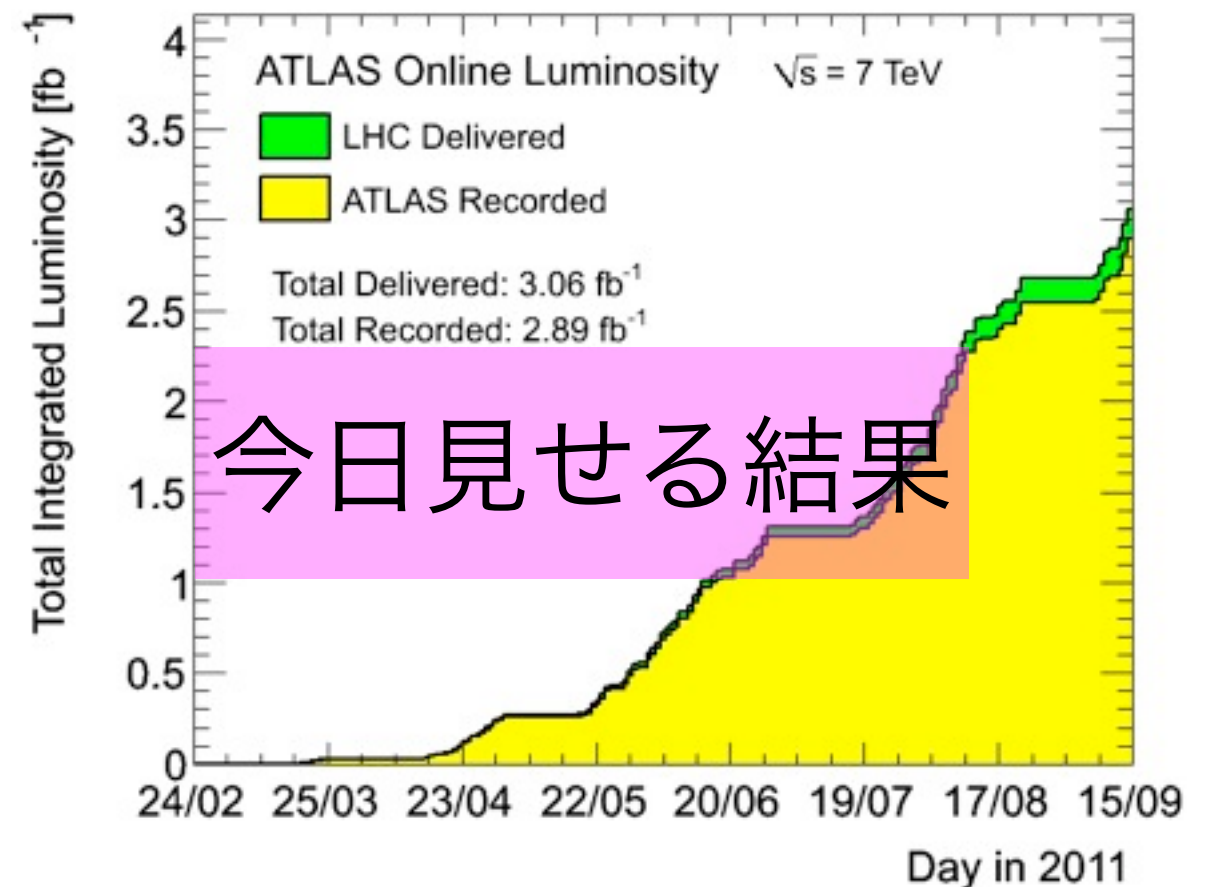
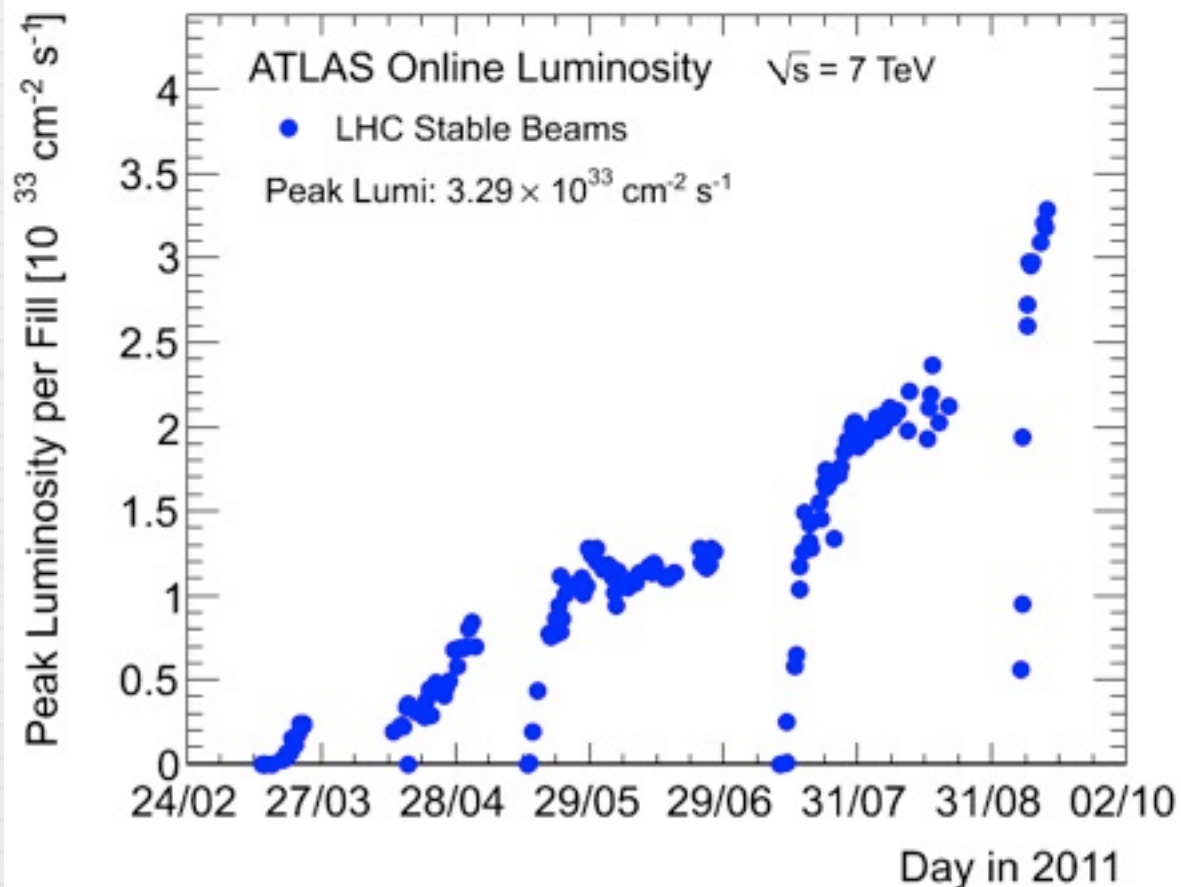
$$L = \frac{\gamma_{\pm}}{2e r_e} \left(1 + \frac{\sigma_y^*}{\sigma_x^*} \right) \frac{I_{\pm} \xi_{\pm y}}{\beta_y^*} \left(\frac{R_L}{R_y} \right)$$

Target: $L = 8 \times 10^{35} / \text{cm}^2 / \text{s}$

LHC (ATLAS) の現状

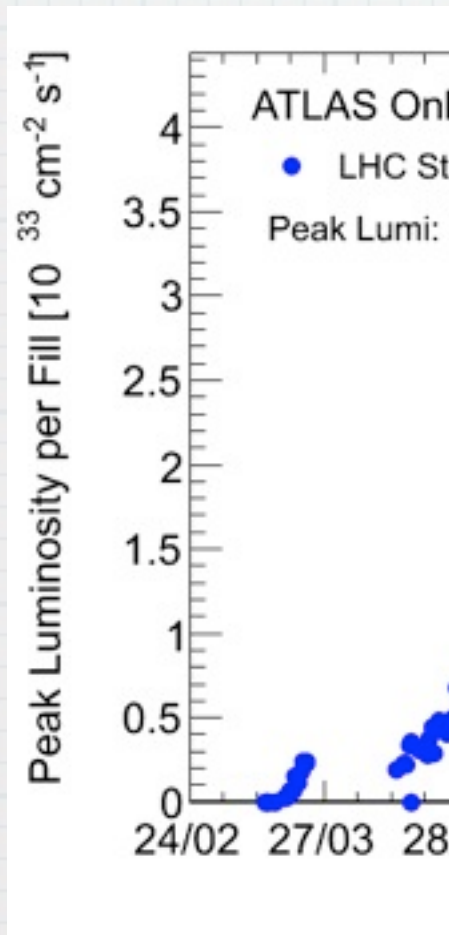
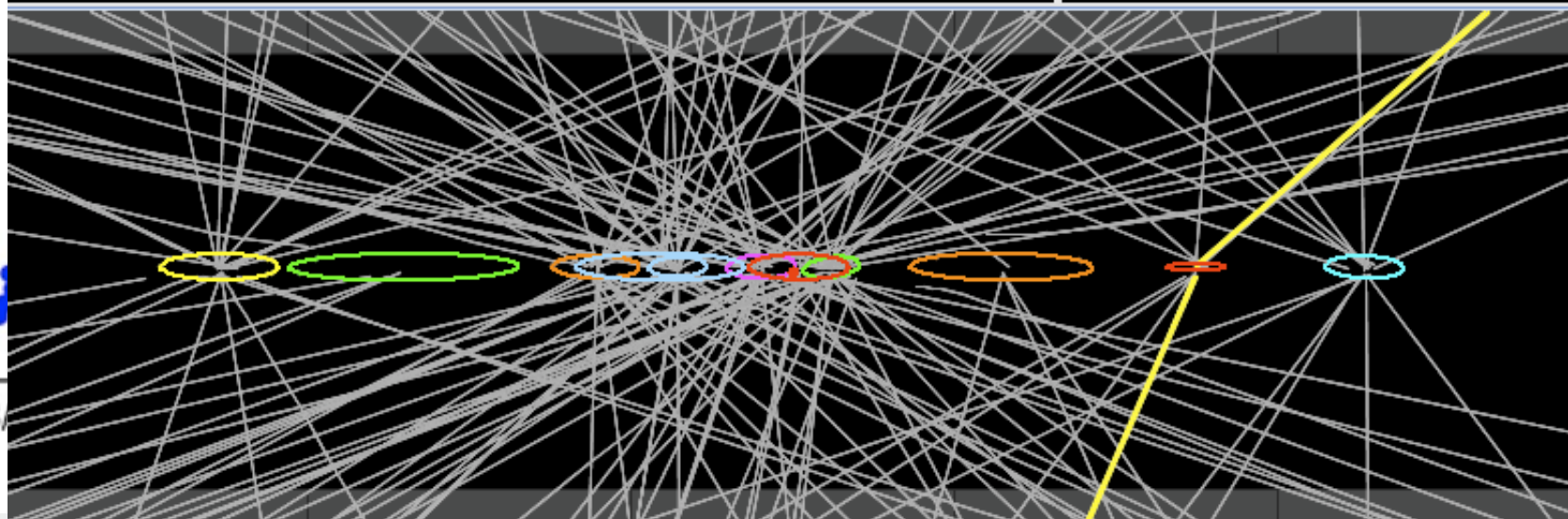
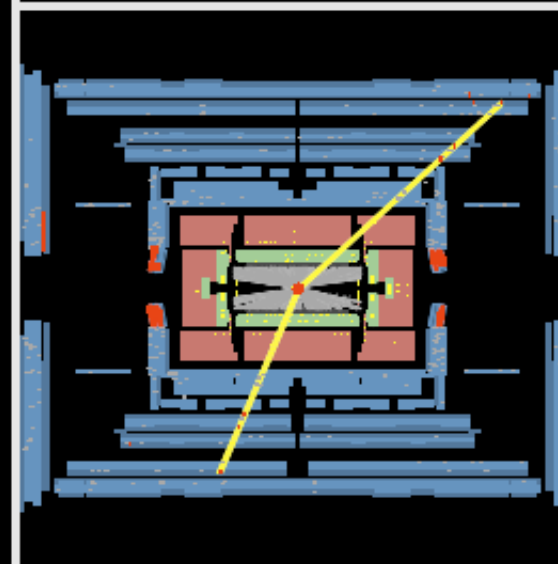
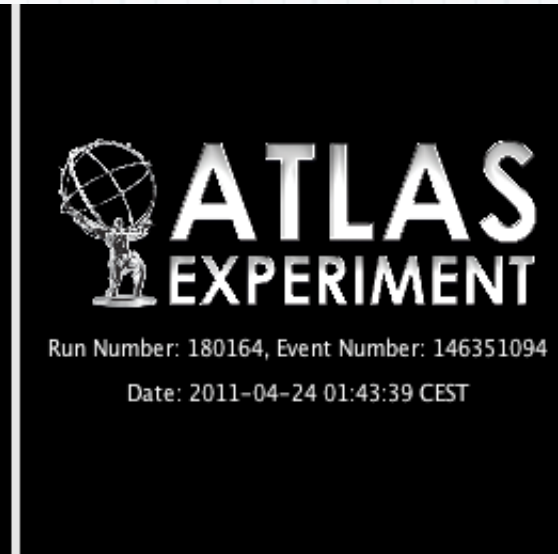
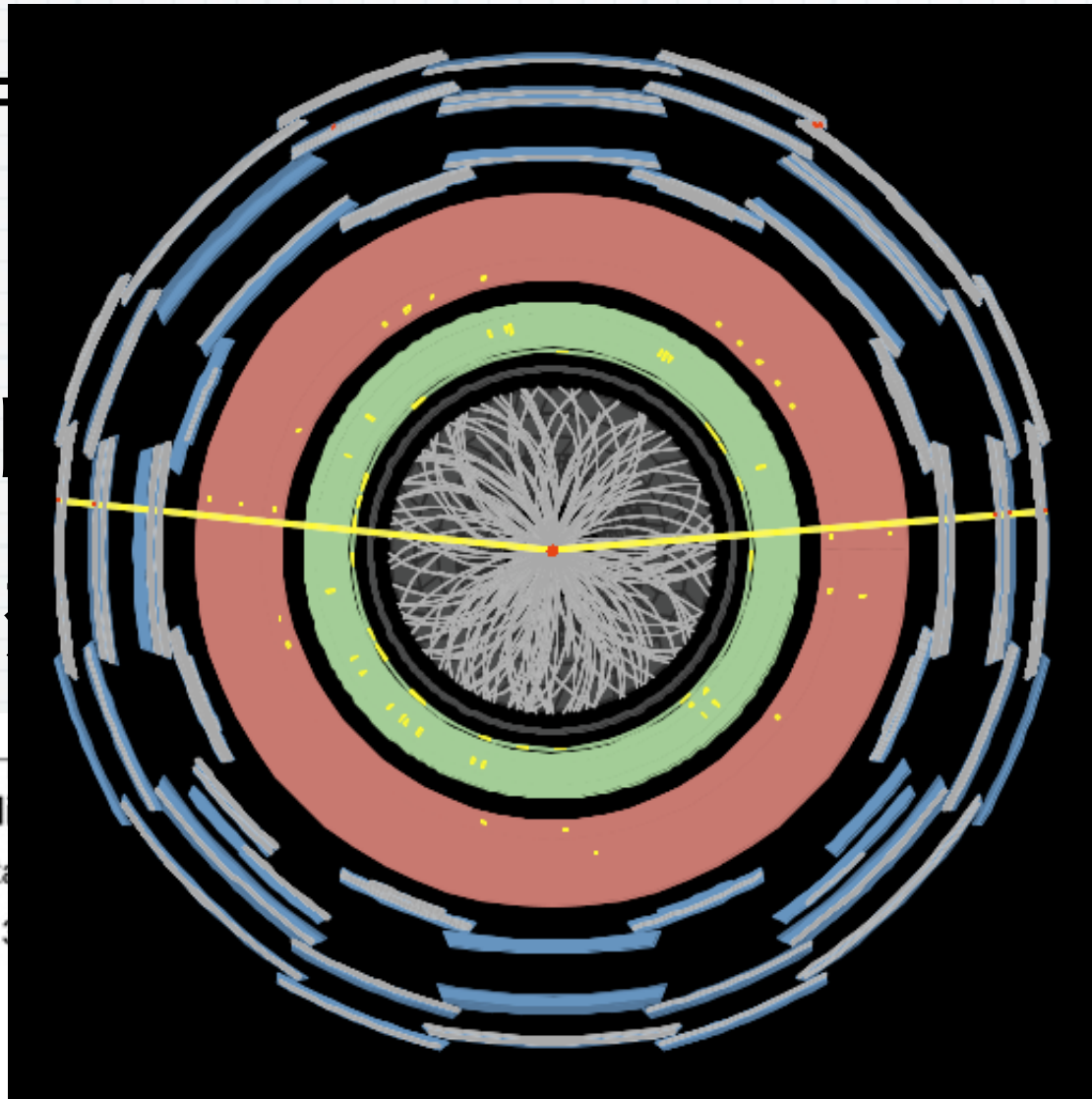
LHC Status

- ❖ $\sqrt{s} = 7 \text{ TeV}$ で順調に運転
- ❖ 50ns bunch spacing (ave.~6colli./crossing)
- ❖ Peak luminosity $\sim 3.3\text{E}33 \text{ cm}^{-2}\text{s}^{-1}$
 - ▶ 予想よりも高いパフォーマンス

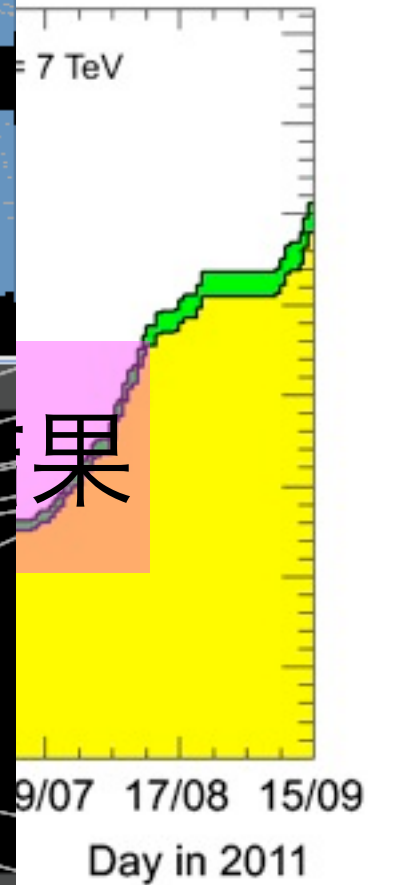


LHC Status

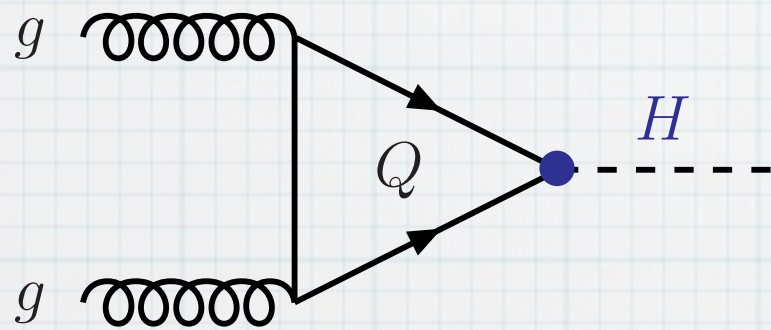
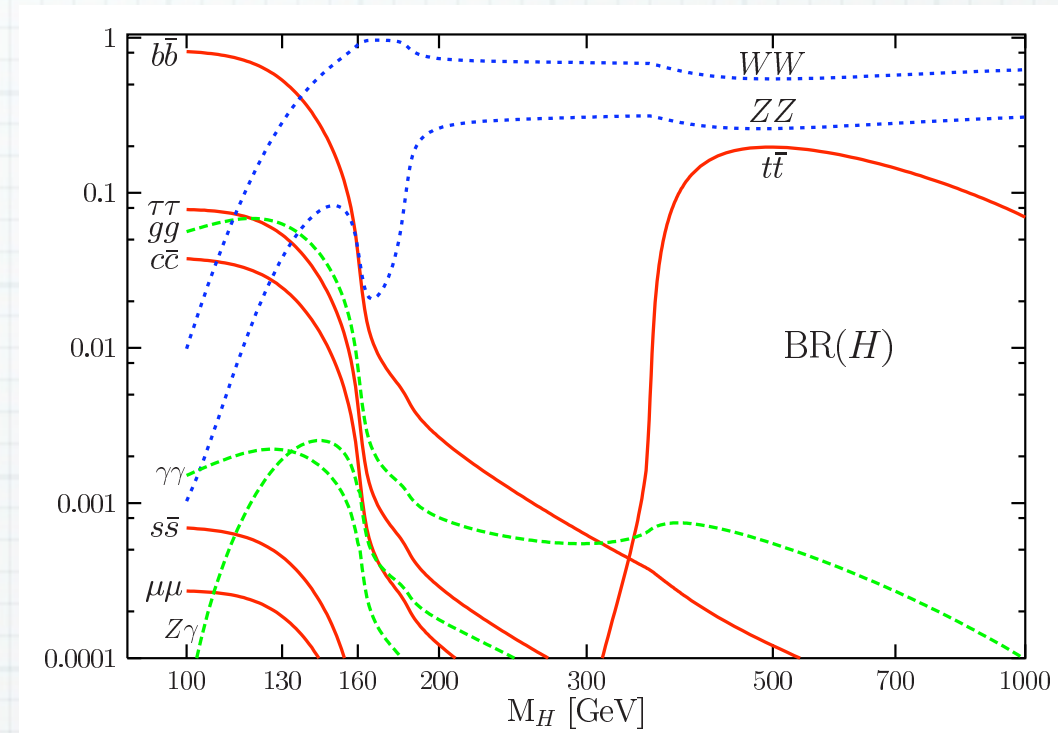
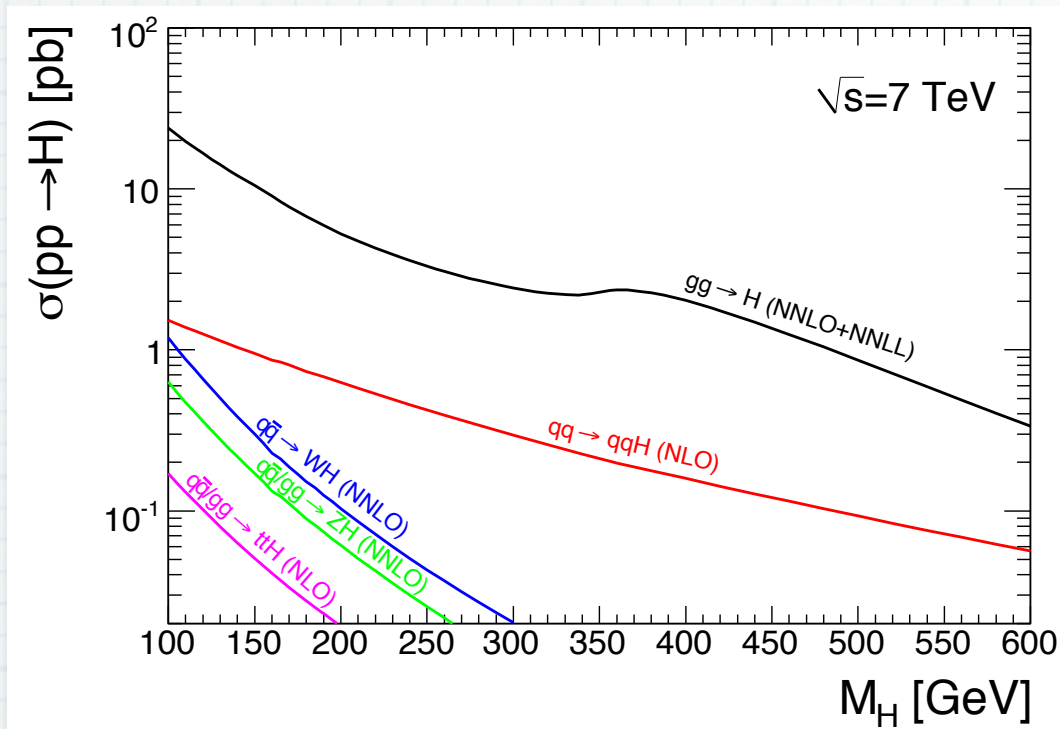
- ❖ $\sqrt{s} =$
- ❖ 50n
- ❖ Peak
- ▶ 予



(crossing)

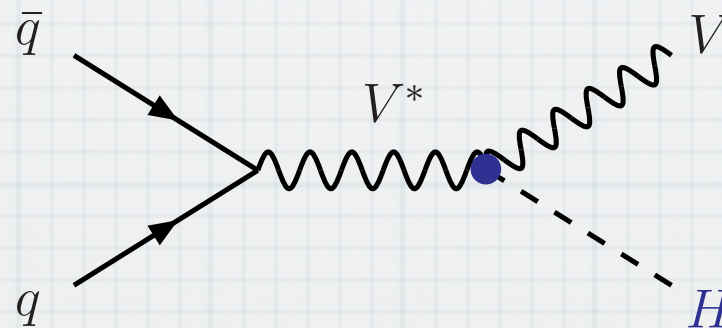
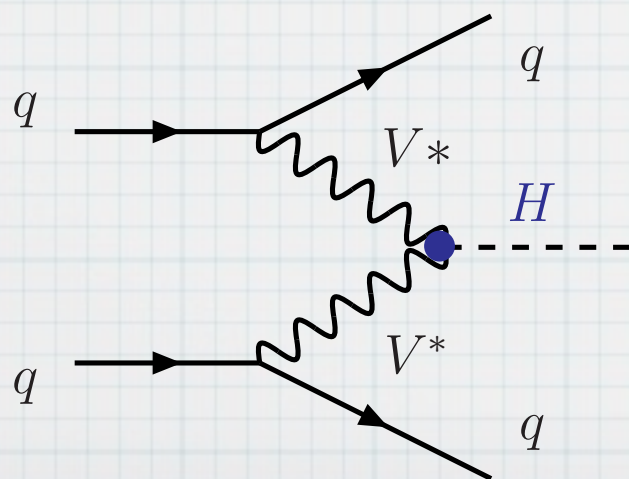


Higgs Production and Decay at LHC



有力なモード

$H \rightarrow \gamma\gamma, H \rightarrow WW, H \rightarrow ZZ$



将来有力
(非常に軽いとき)

$H \rightarrow ff$

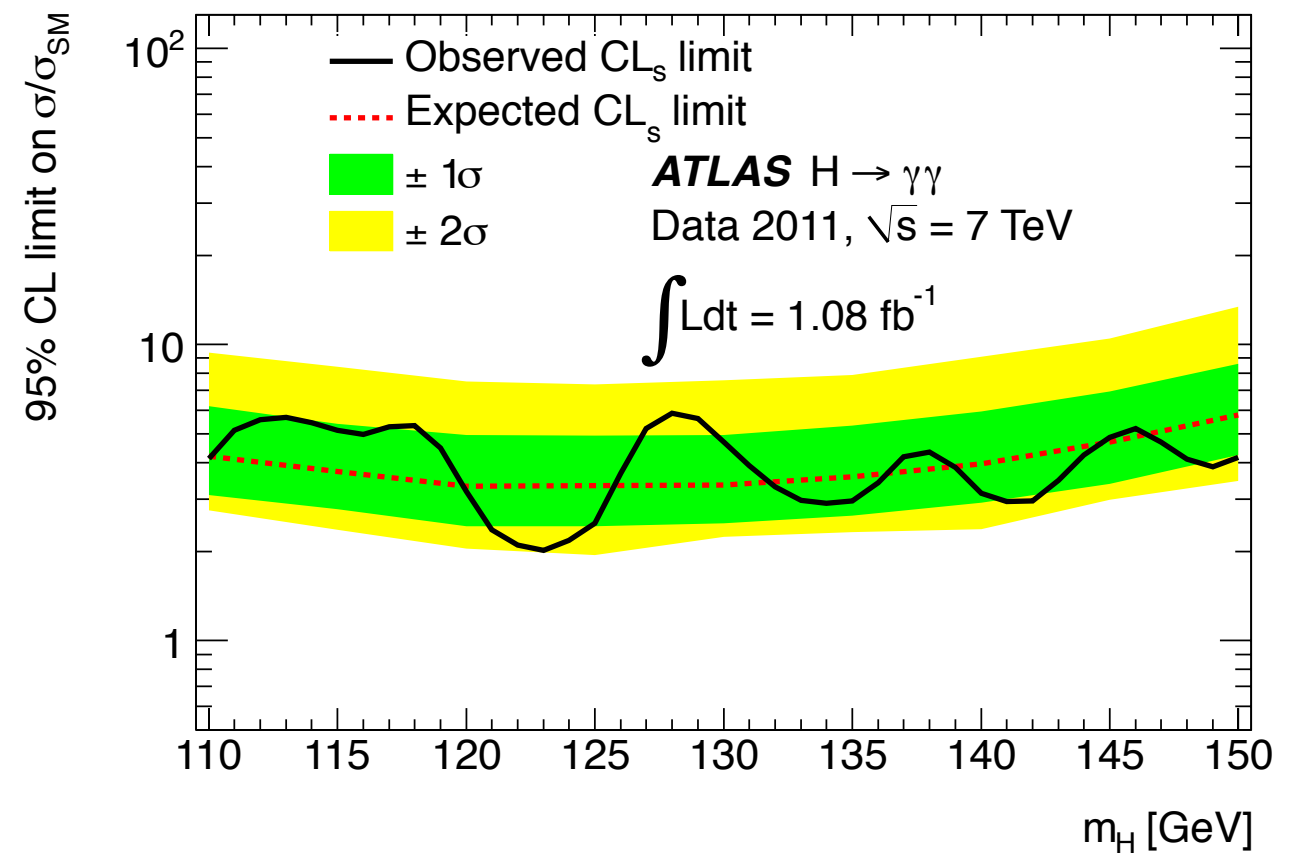
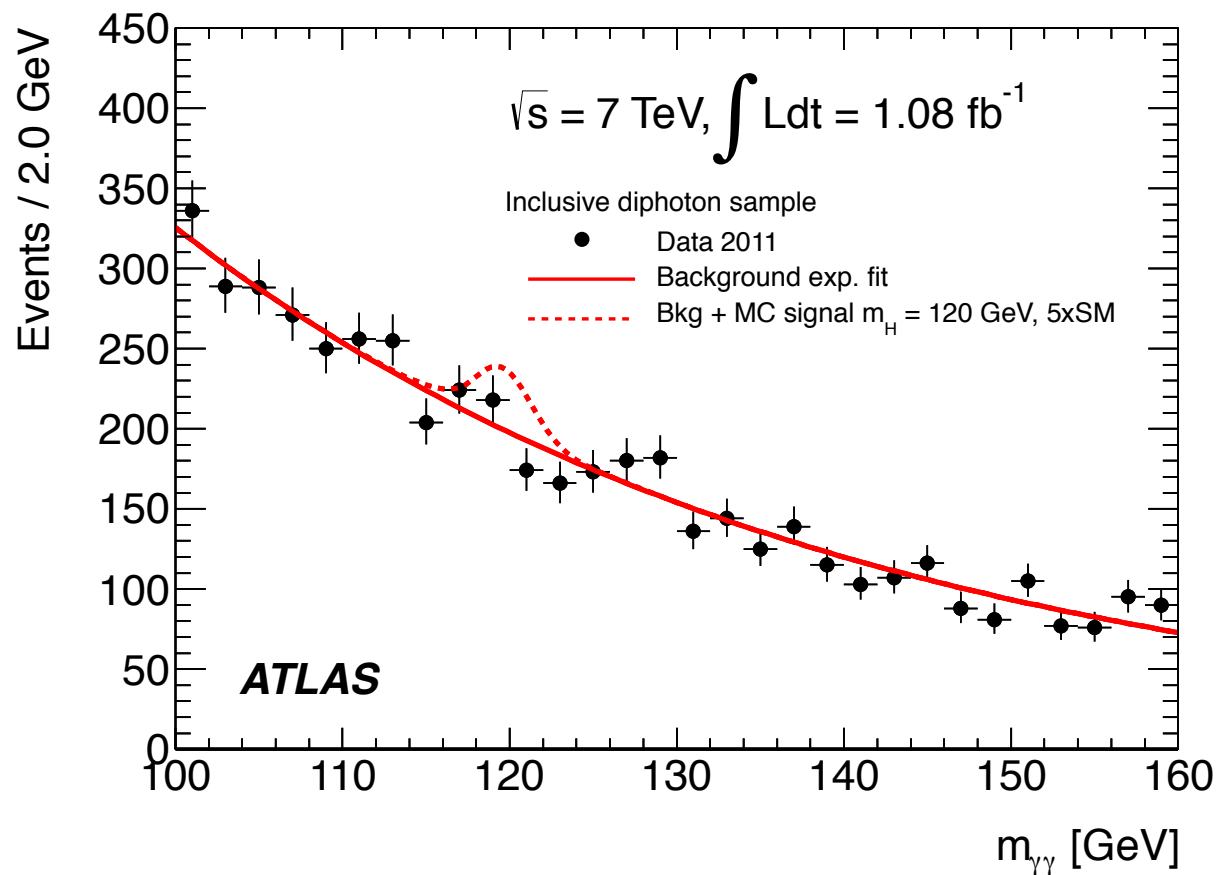
$H \rightarrow \gamma \gamma$ (1.08 fb^{-1})

❖ Resonance search

- ▶ $\sigma \sim$ a few GeV for 120 GeV Higgs

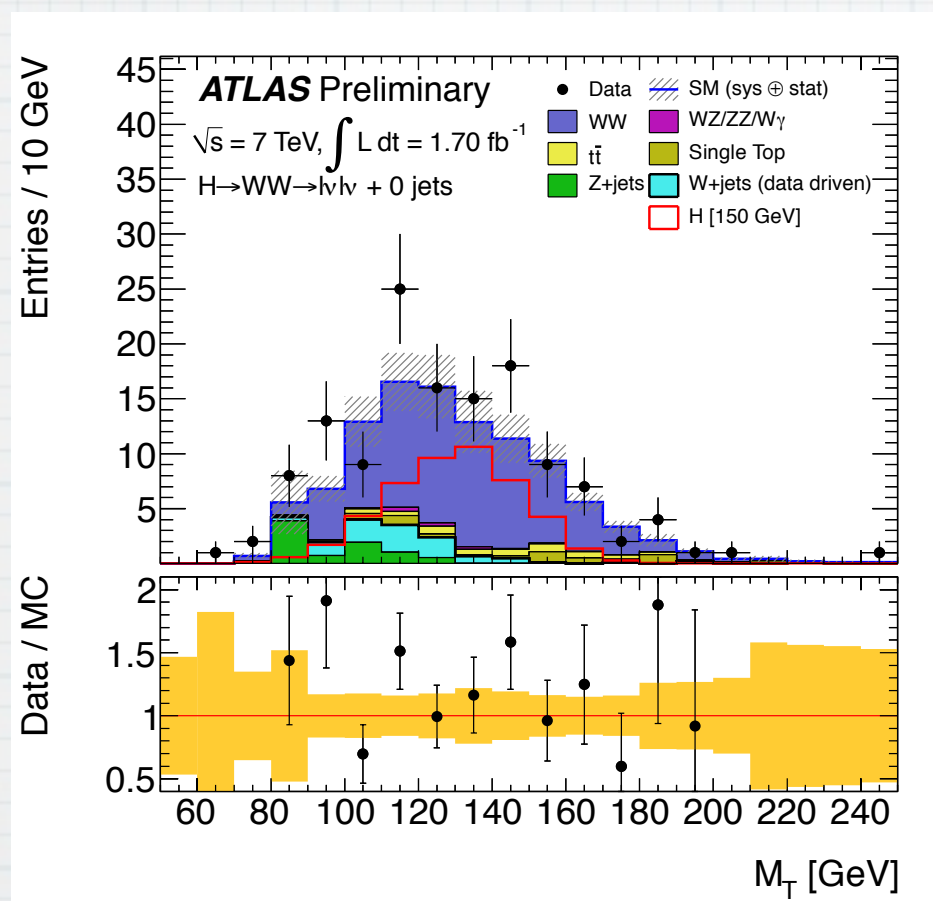
❖ Two isolated photon

- ▶ $p_T > 40$ GeV, and 25 GeV

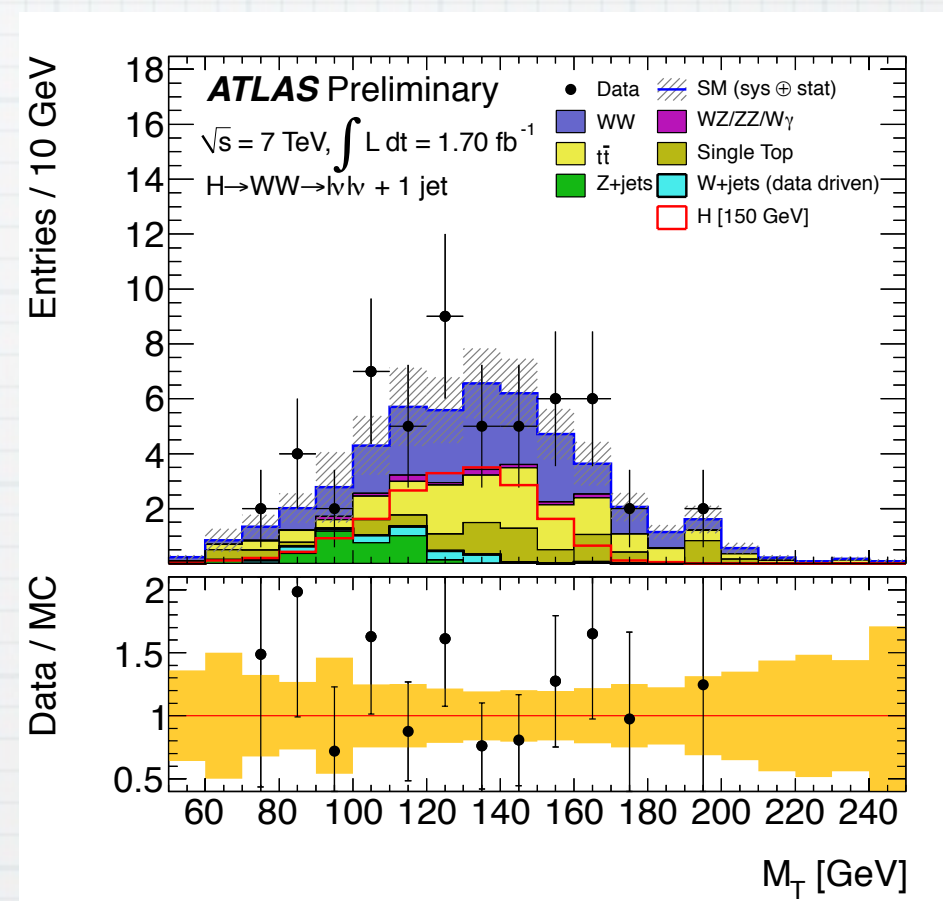


$H \rightarrow W(\rightarrow l\nu)W(\rightarrow l\nu)$ (1.7fb^{-1})

- ❖ Two isolated leptons
- ❖ Missing $E_T > 30$ GeV
- ❖ $M_{ll} < 50$ ($m_H < 170$) or 65 GeV ($m_H > 170$ GeV)
- ❖ $\Phi_{ll} < 1.3$ or 1.8
- ❖ Transverse Mass M_T

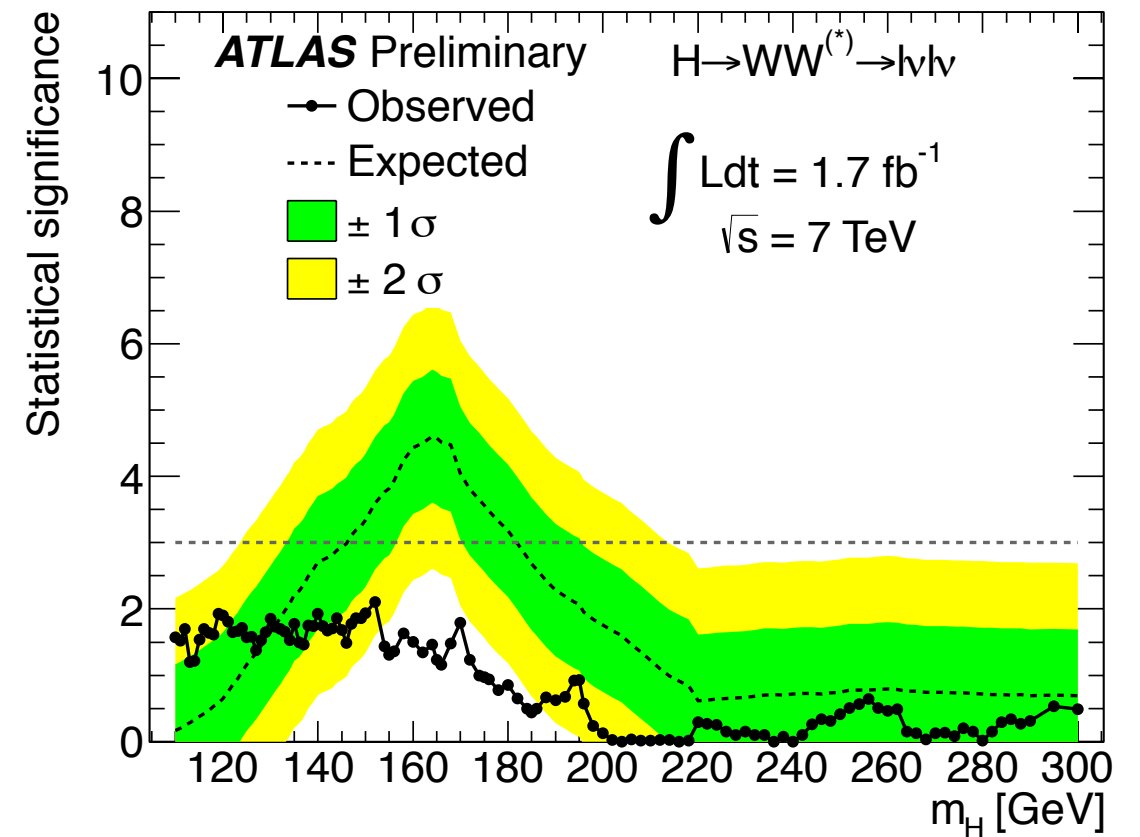
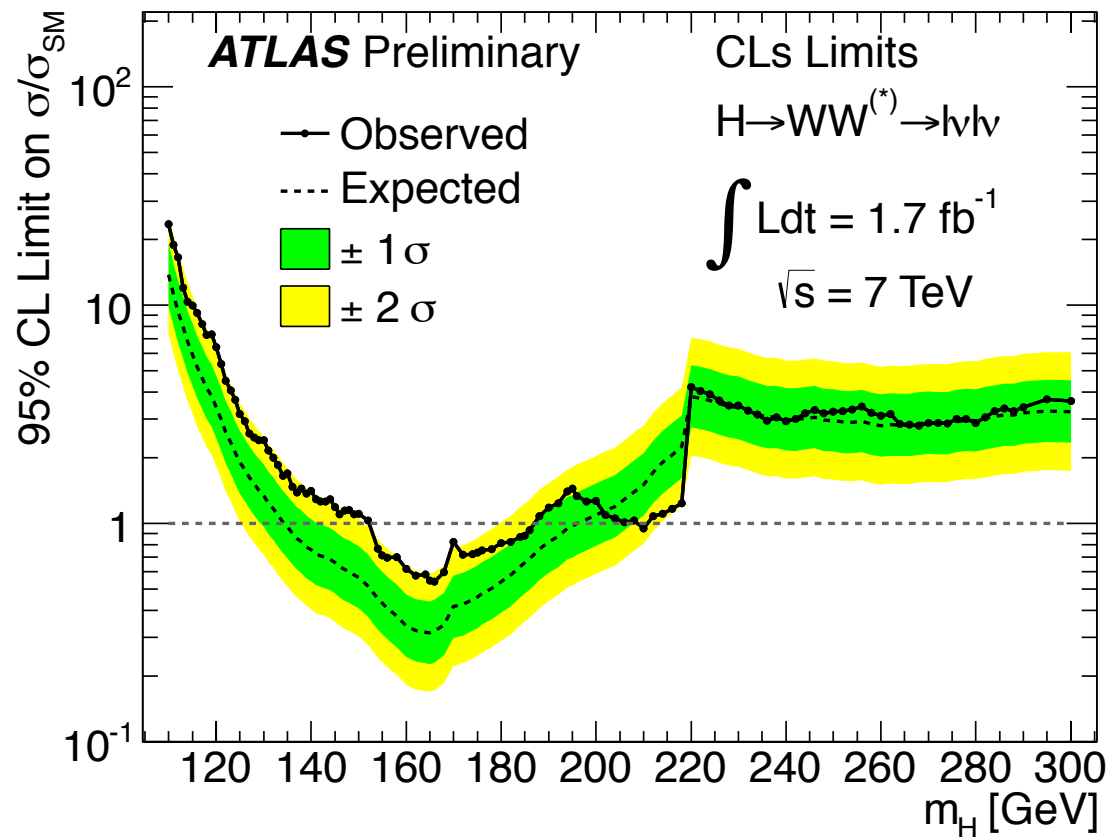


0jet: gluon fusion like



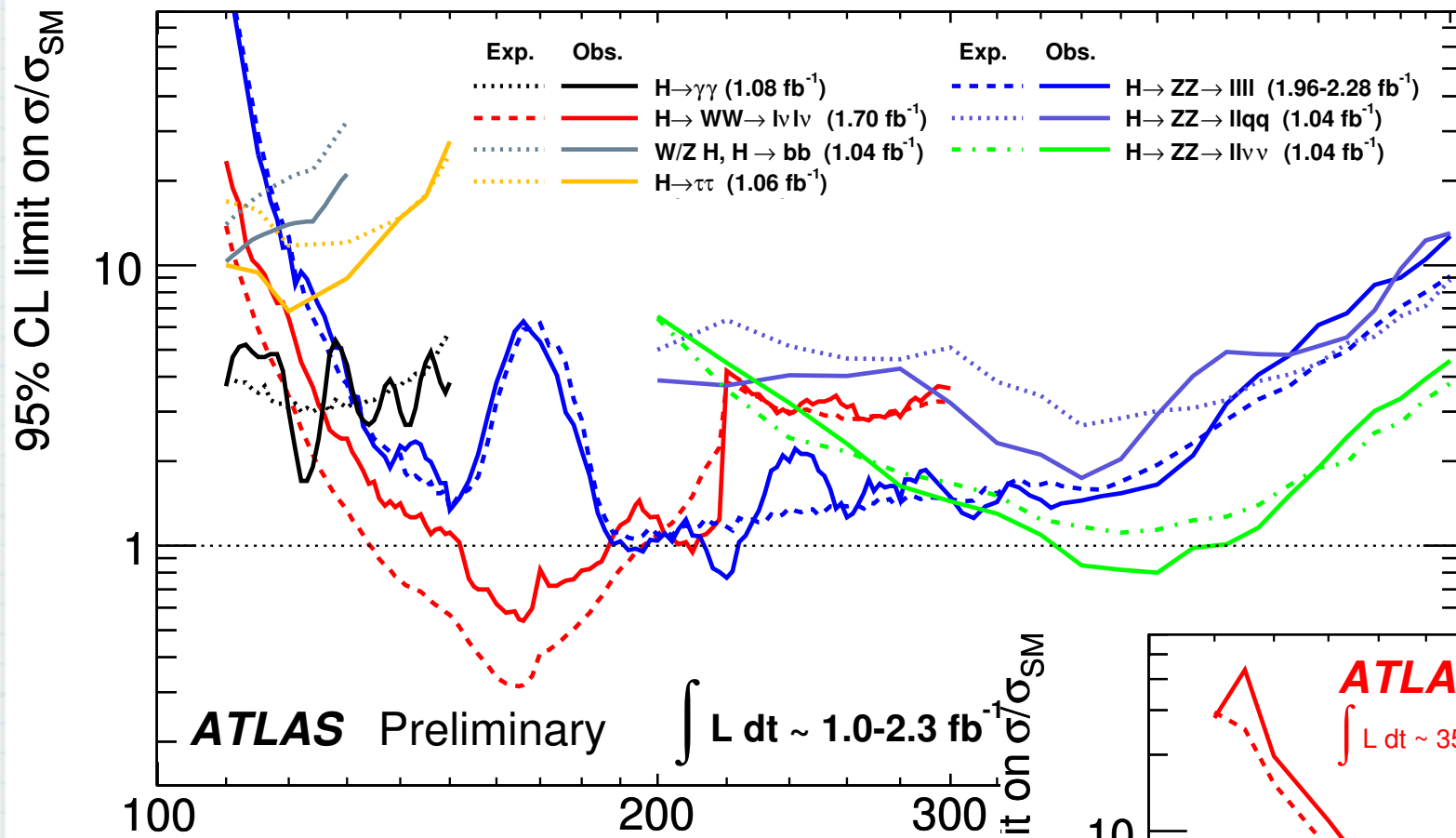
1jet: vector boson fusion like

$H \rightarrow W(\rightarrow l\nu)W(\rightarrow l\nu)$ Limit

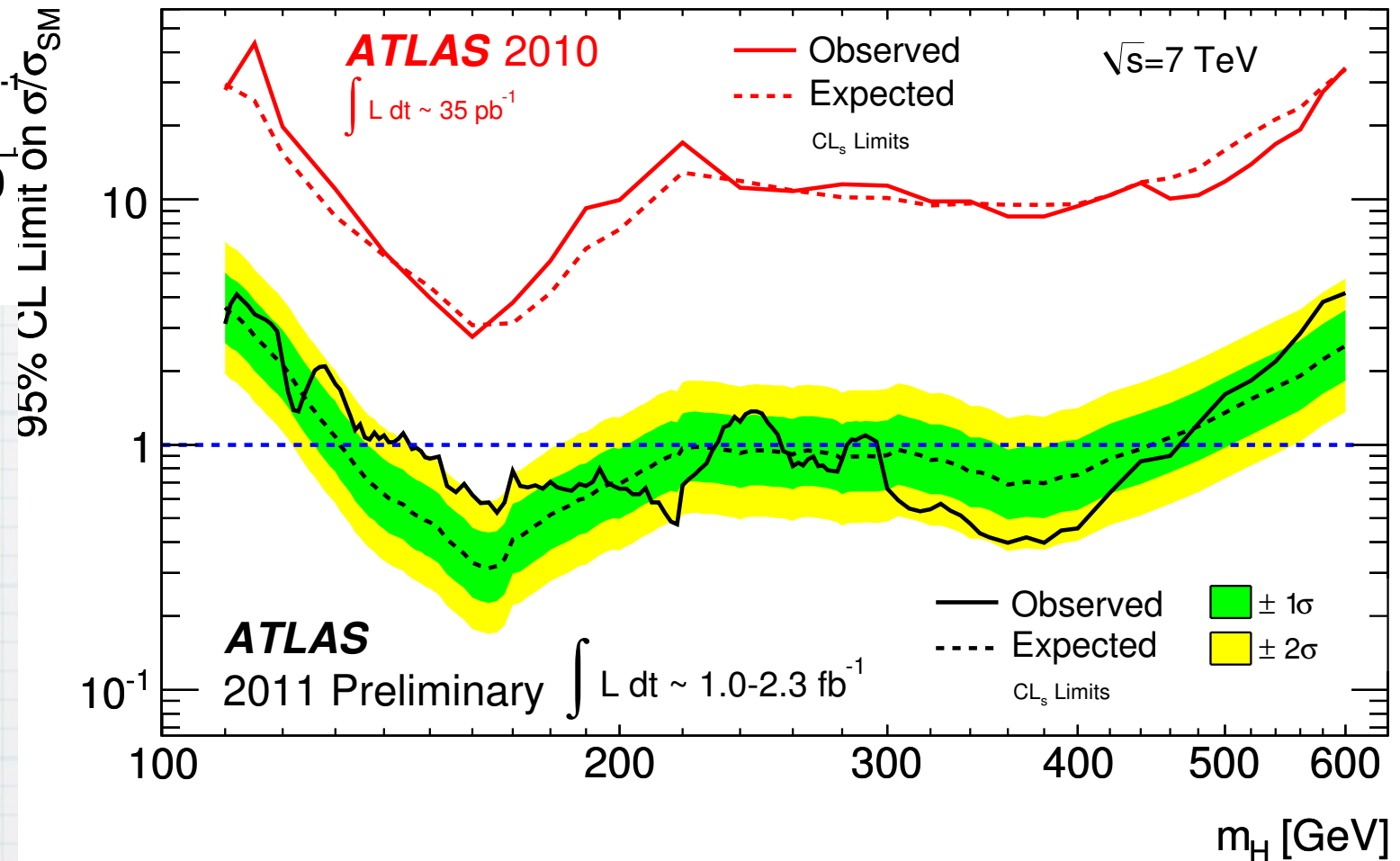


- ❖ $154 < M_H < 186 \text{ GeV}$ を棄却
 - ▶ CMS : $147 < M_H < 194 \text{ GeV}$
- ❖ 軽いところにわずかなexcess

Combination (1.0-2.3fb⁻¹)

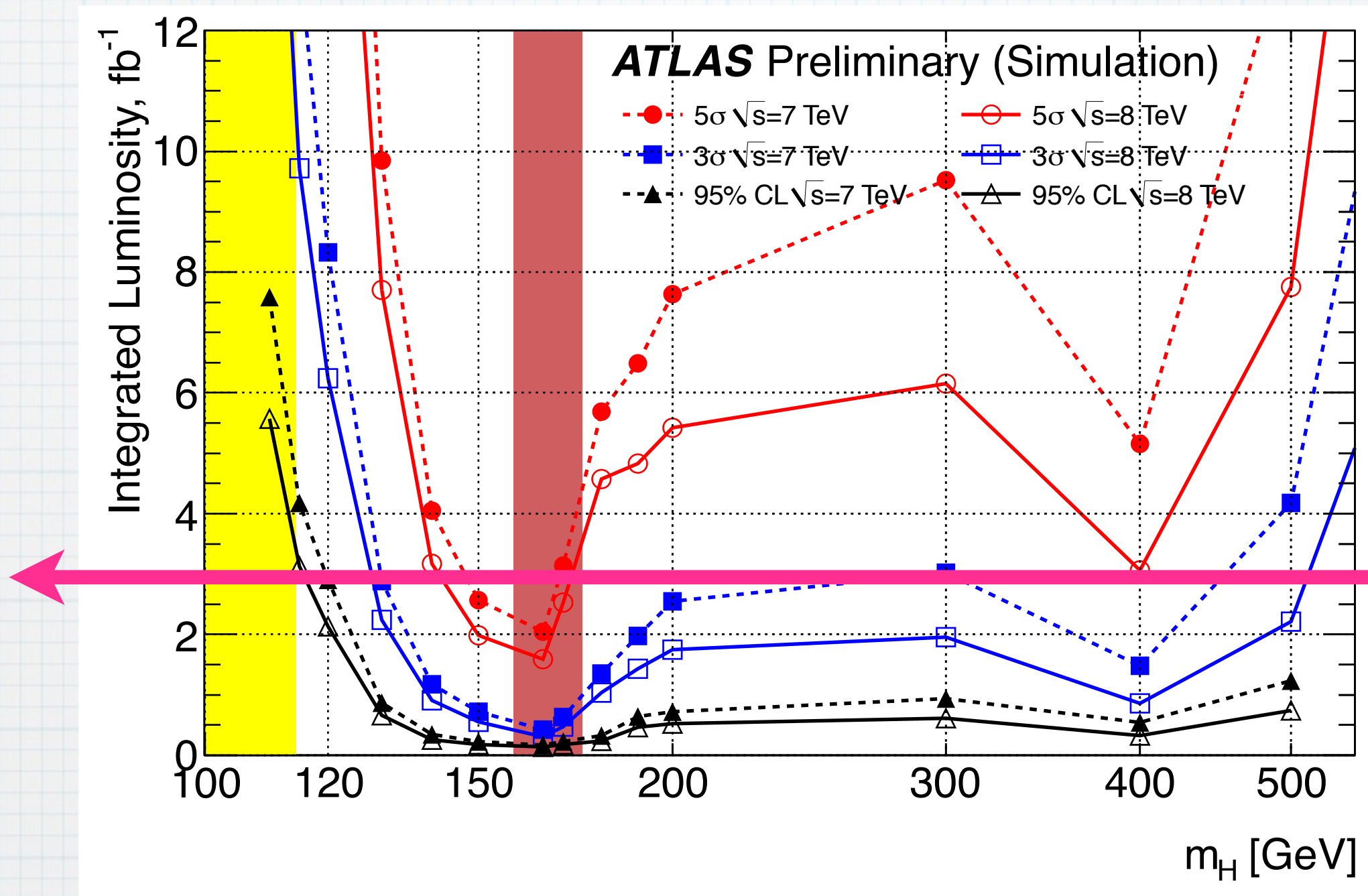


H → $\gamma\gamma$
H → WW → $l\nu l\nu$
H → ZZ → ll ll



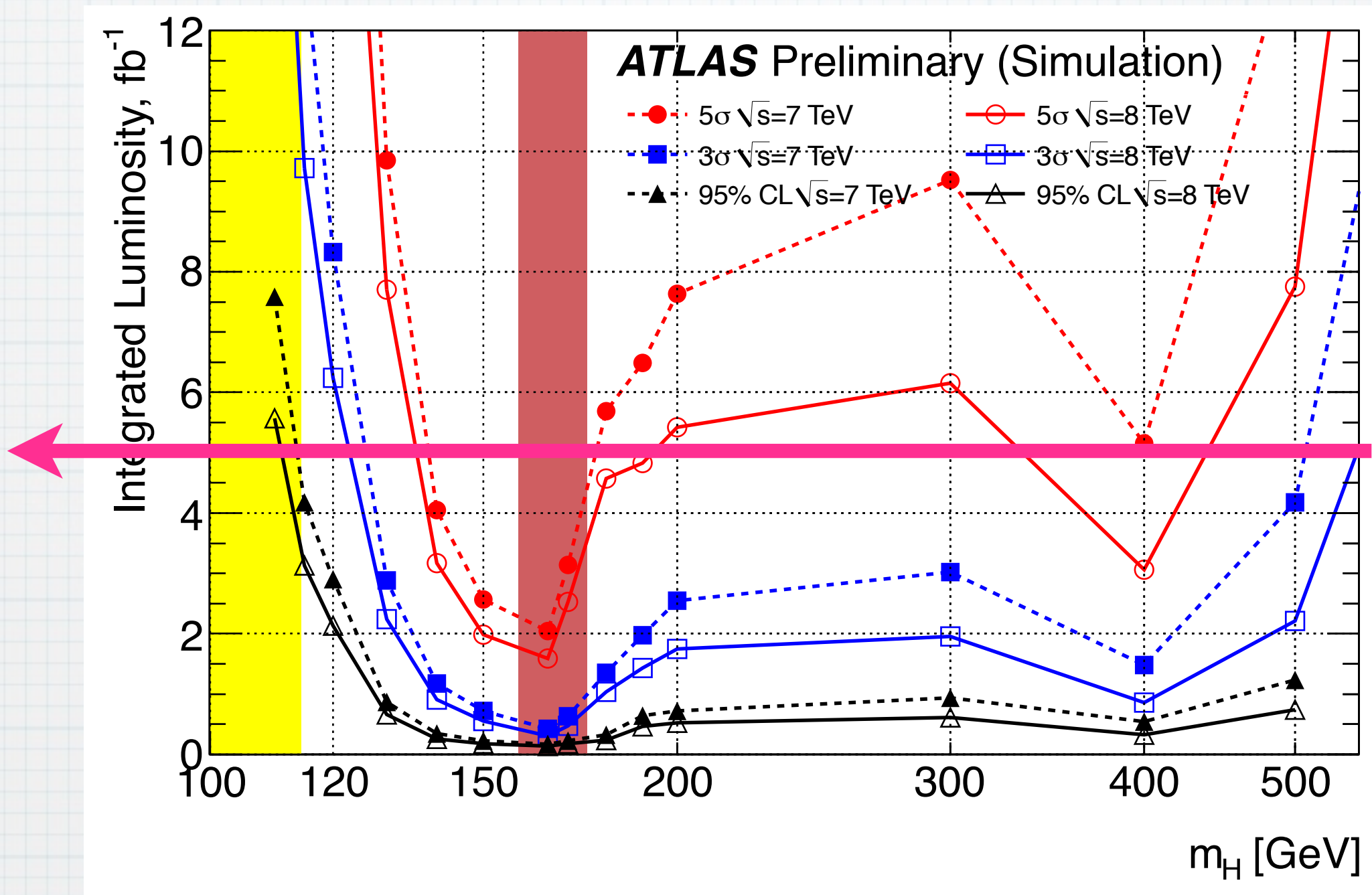
❖ 146-446GeVを
”ほぼ”棄却

Prospects



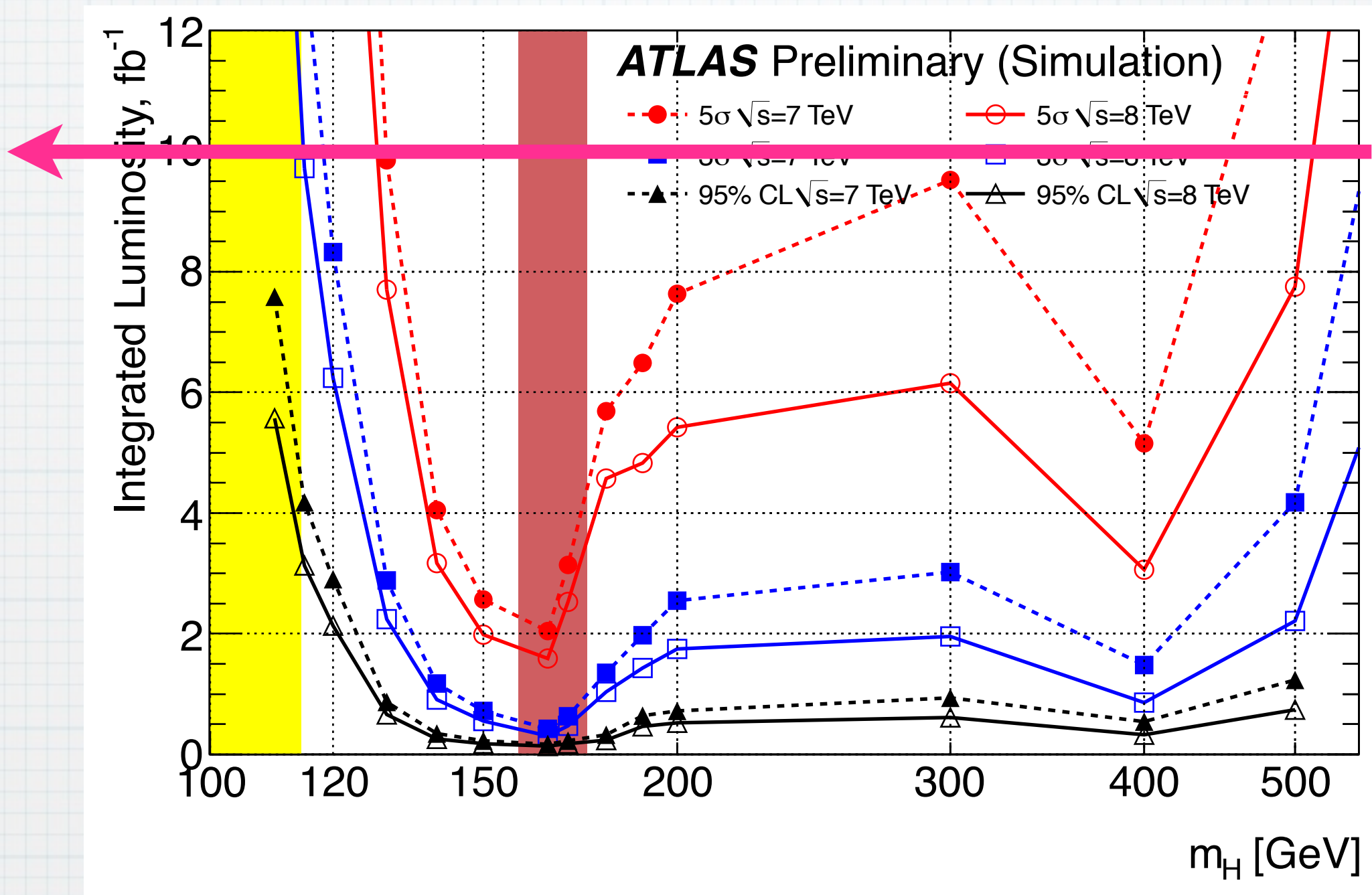
❖ 発見はすぐそこっ

Prospects



❖ 発見はすぐそこっ

Prospects



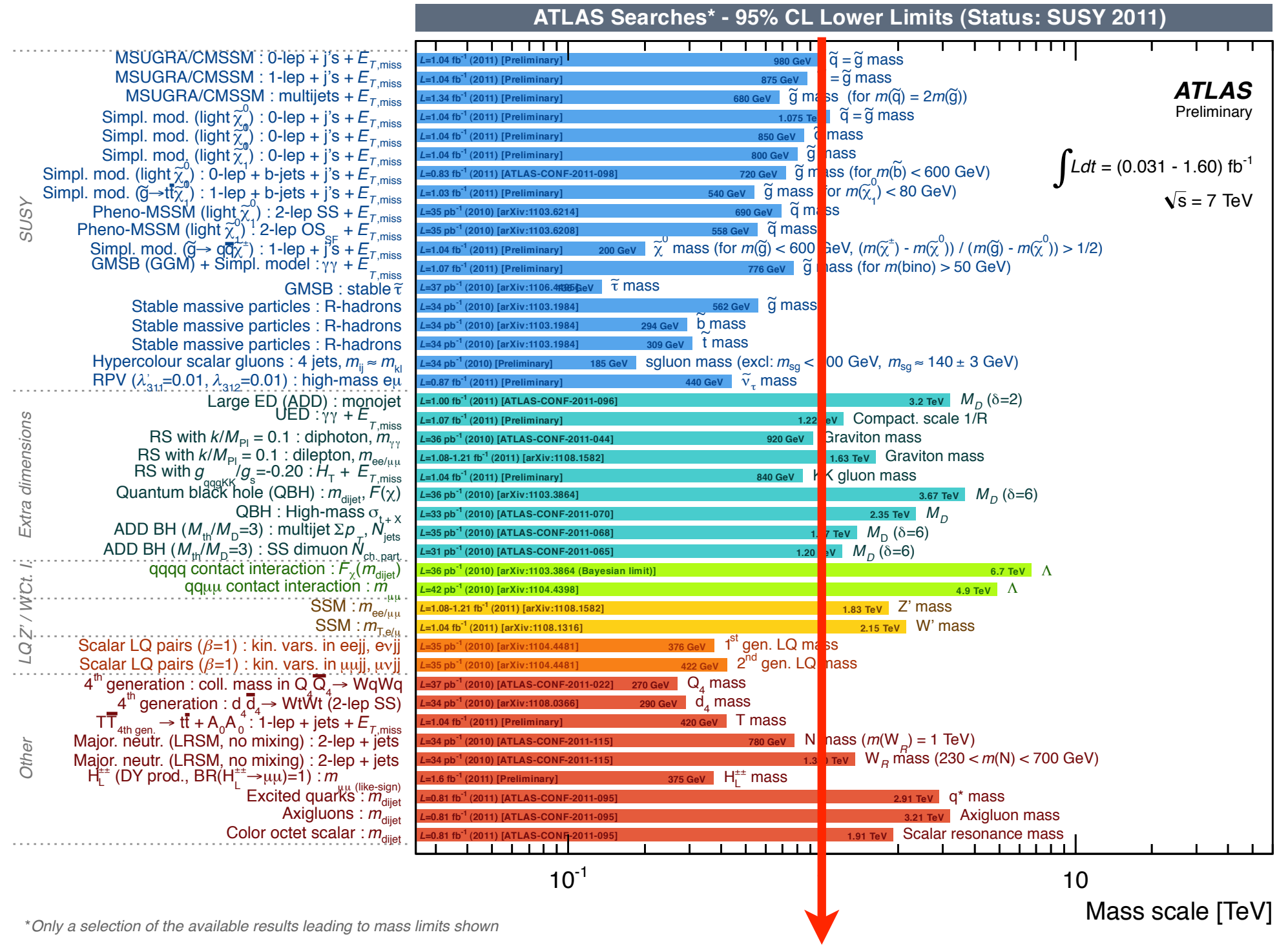
❖ 発見はすぐそこっ

New Physics探索現状

SUSY

ED

W'/Z'



1 TeV

次期エネルギー フロンティア計画

2つのアプローチ 陽子 vs 電子

❖ エネルギー

▶ 陽子

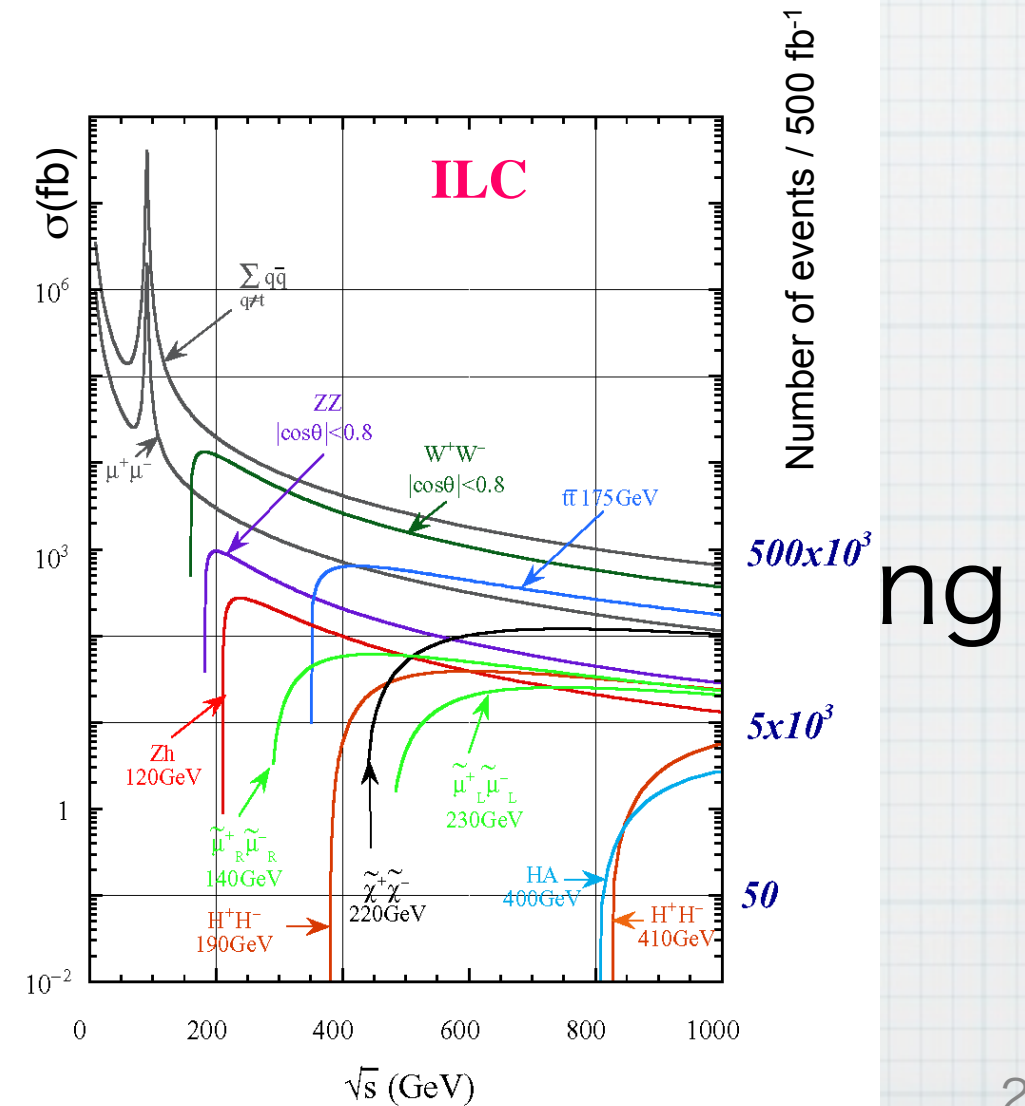
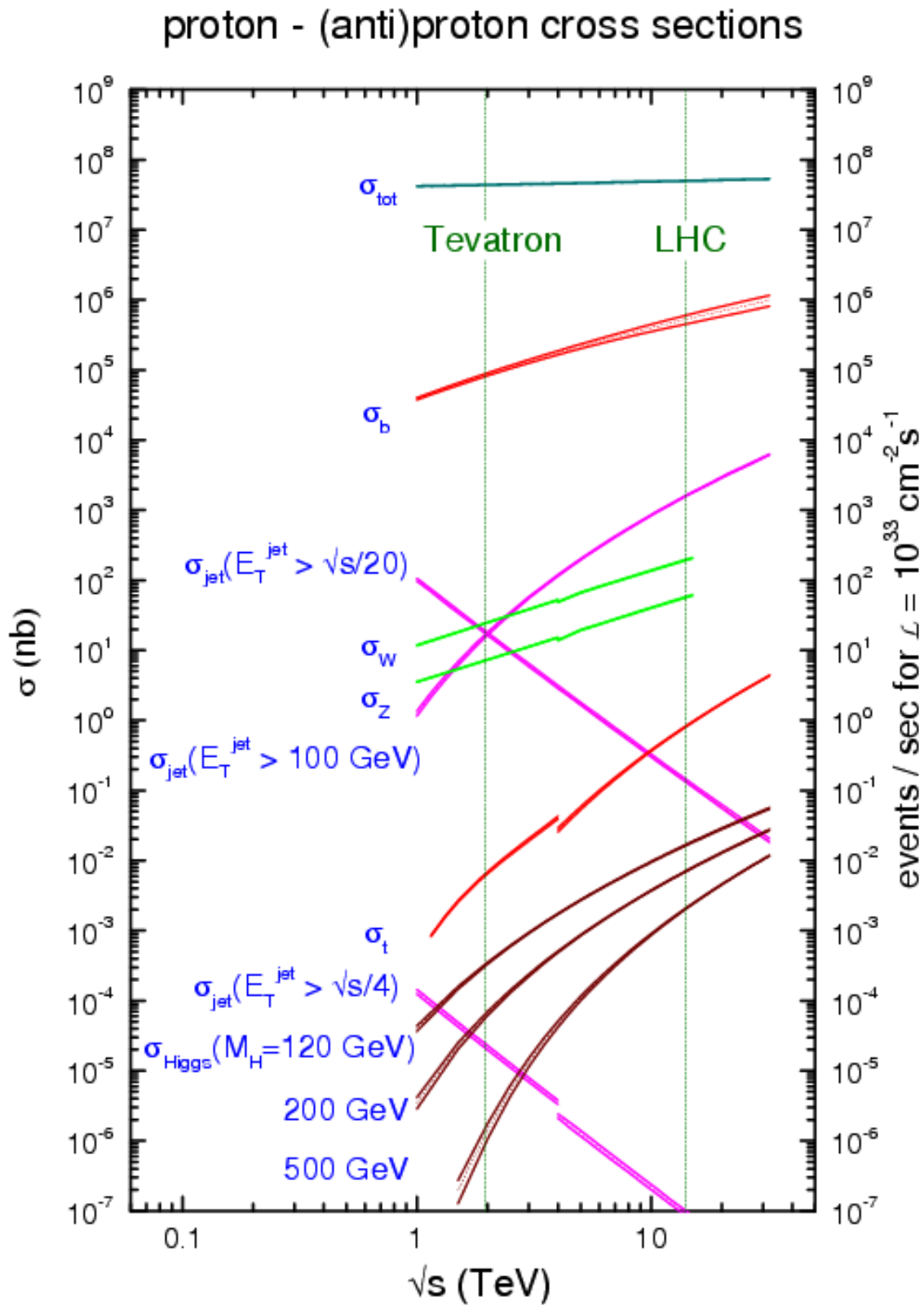
- ◎ シンクロトロン放射 $\Delta E \propto \frac{(E/m)^4}{R}$

❖ 背景事象その他解析のしやすさ

▶ 電子 (R→∞ … Linear Collider)

- ◎ 高いS/N
- ◎ No multiple interactions, no underlying events, no remnant
- ◎ 3次元の運動量保存

2つのアプローチ 陽子 vs 電子



2つのアプローチ 陽子 vs 電子

❖ エネルギー

▶ 陽子

- ◎ シンクロトロン放射 $\Delta E \propto \frac{(E/m)^4}{R}$

❖ 背景事象その他解析のしやすさ

▶ 電子 (R→∞ … Linear Collider)

- ◎ 高いS/N
- ◎ No multiple interactions, no underlying events, no remnant
- ◎ 3次元の運動量保存

発見と精密測定

❖ ハドロンコライダー

- ▶ 高いエネルギーを利用して未知粒子の発見

❖ レプトンコライダー

- ▶ 高いS/Nなどを利用して精密測定

発見と精密測定

❖ ハドロンコライダー

- ▶ 高いエネルギーを利用して未知粒子の発見

❖ レプトンコライダー

- ▶ 高いS/Nなどを利用して精密測定

SPPS

発見と精密測定

❖ ハドロンコライダー

- ▶ 高いエネルギーを利用して未知粒子の発見

❖ レプトンコライダー

- ▶ 高いS/Nなどを利用して精密測定

SPPS → Tevatron

発見と精密測定

❖ ハドロンコライダー

- ▶ 高いエネルギーを利用して未知粒子の発見

❖ レプトンコライダー

- ▶ 高いS/Nなどを利用して精密測定

SPPS → Tevatron

→ LEP → LEP II

発見と精密測定

❖ ハドロンコライダー

- ▶ 高いエネルギーを利用して未知粒子の発見

❖ レプトンコライダー

- ▶ 高いS/Nなどを利用して精密測定

SPPS → Tevatron → LHC → HL-LHC
→ LEP → LEP II

発見と精密測定

❖ ハドロンコライダー

- ▶ 高いエネルギーを利用して未知粒子の発見

❖ レプトンコライダー

- ▶ 高いS/Nなどを利用して精密測定

SPPS → Tevatron → LHC → HL-LHC
→ LEP → LEP II → ILC

発見と精密測定

❖ ハドロンコライダー

- ▶ 高いエネルギーを利用して未知粒子の発見

❖ レプトンコライダー

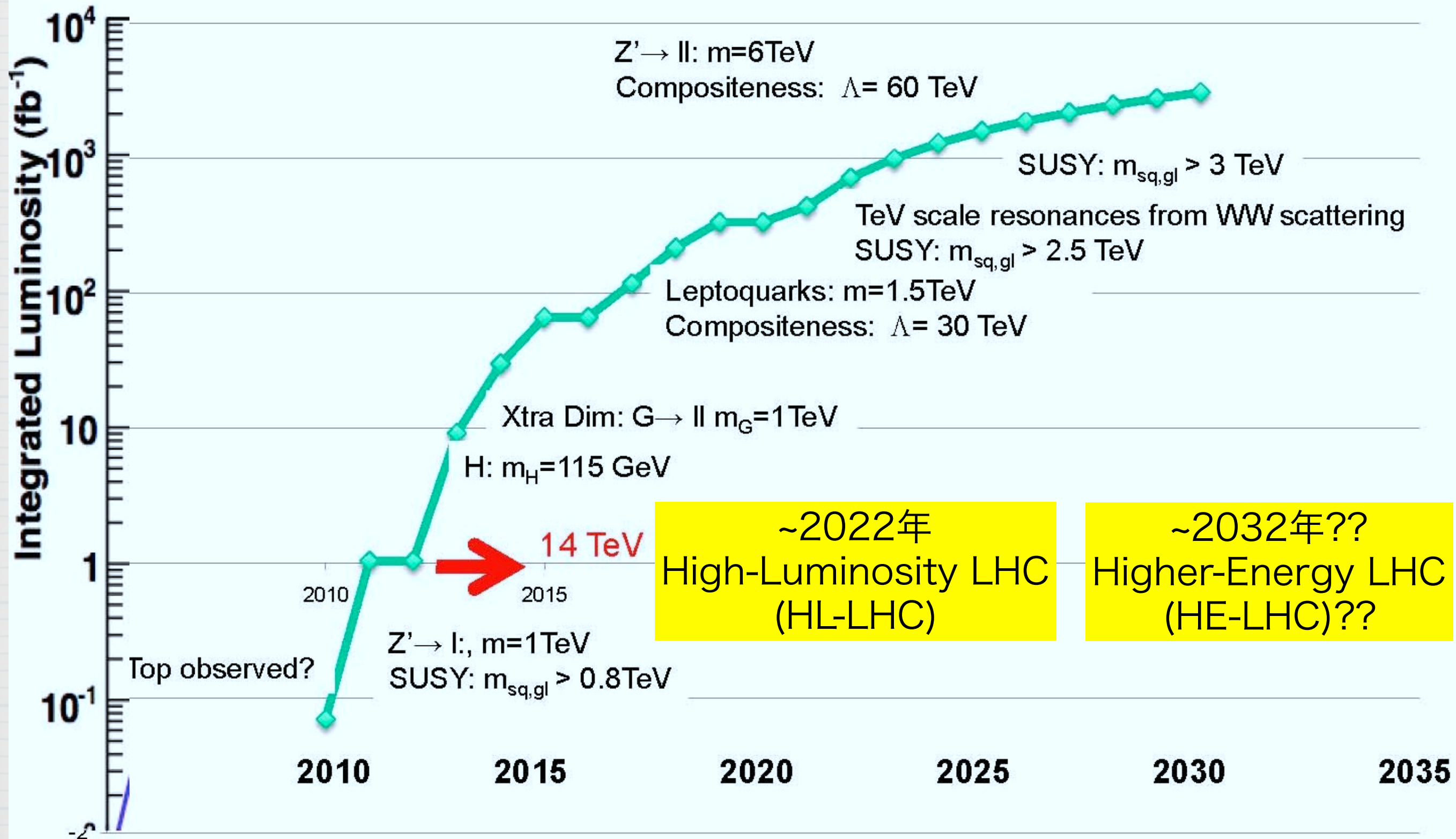
- ▶ 高いS/Nなどを利用して精密測定

SPPS → Tevatron → LHC → HL-LHC

→ LEP → LEP II → ILC

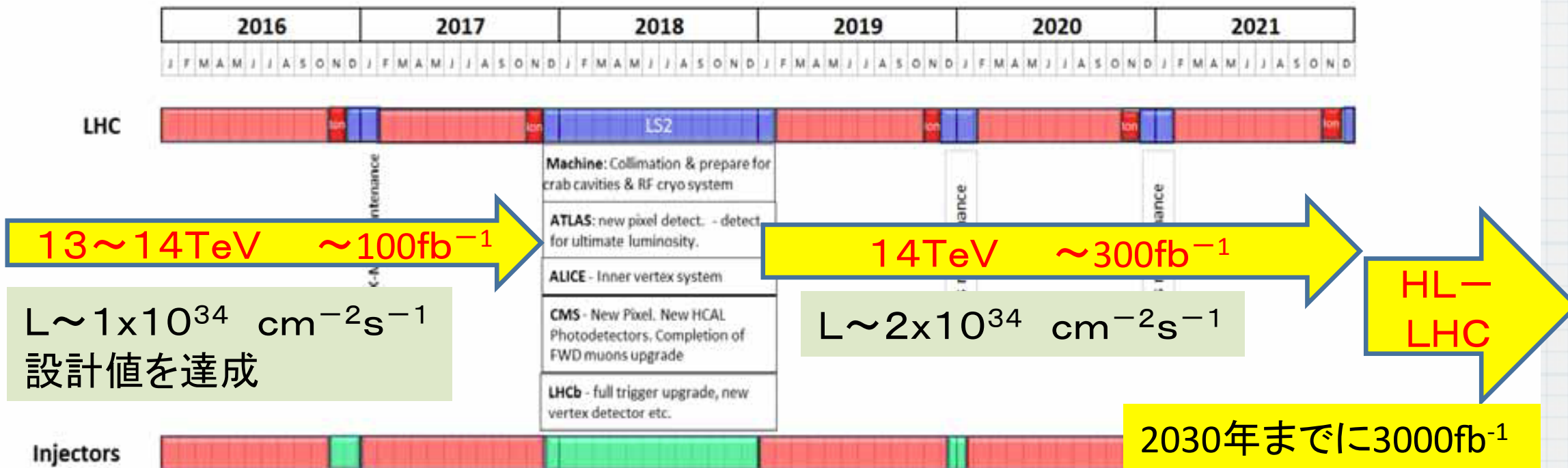
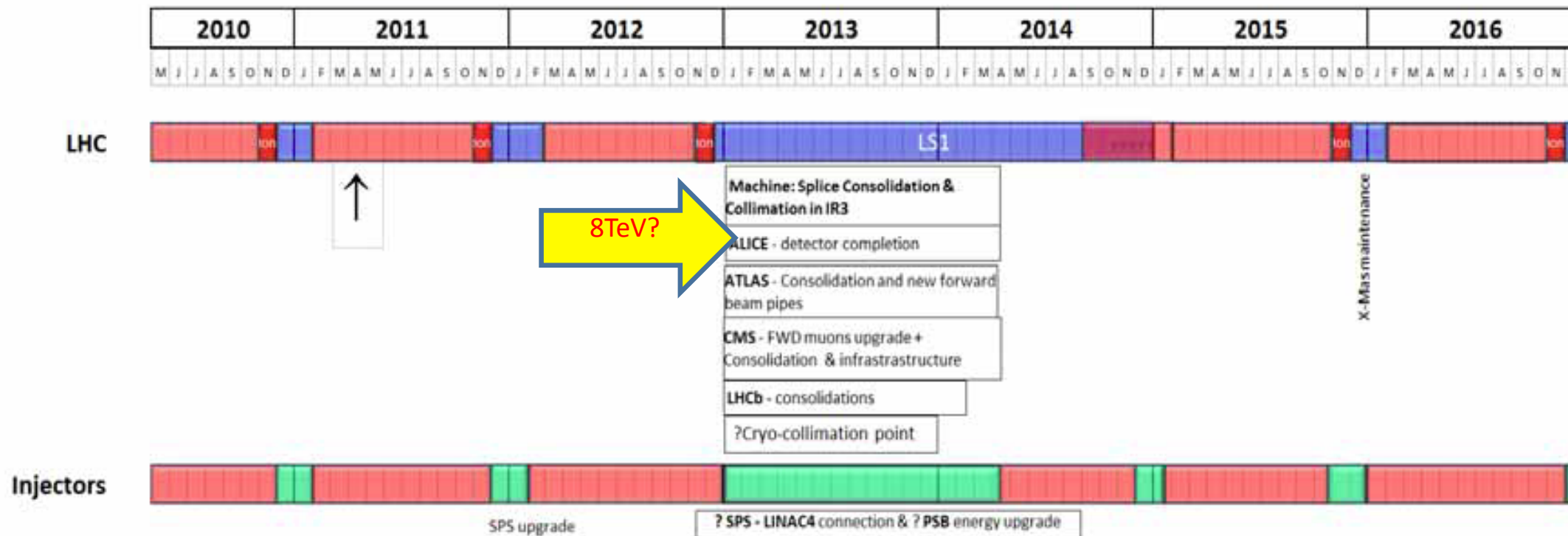
相補的な関係

LHC長期計画



New rough draft 10 year plan

まだ正式なものではない



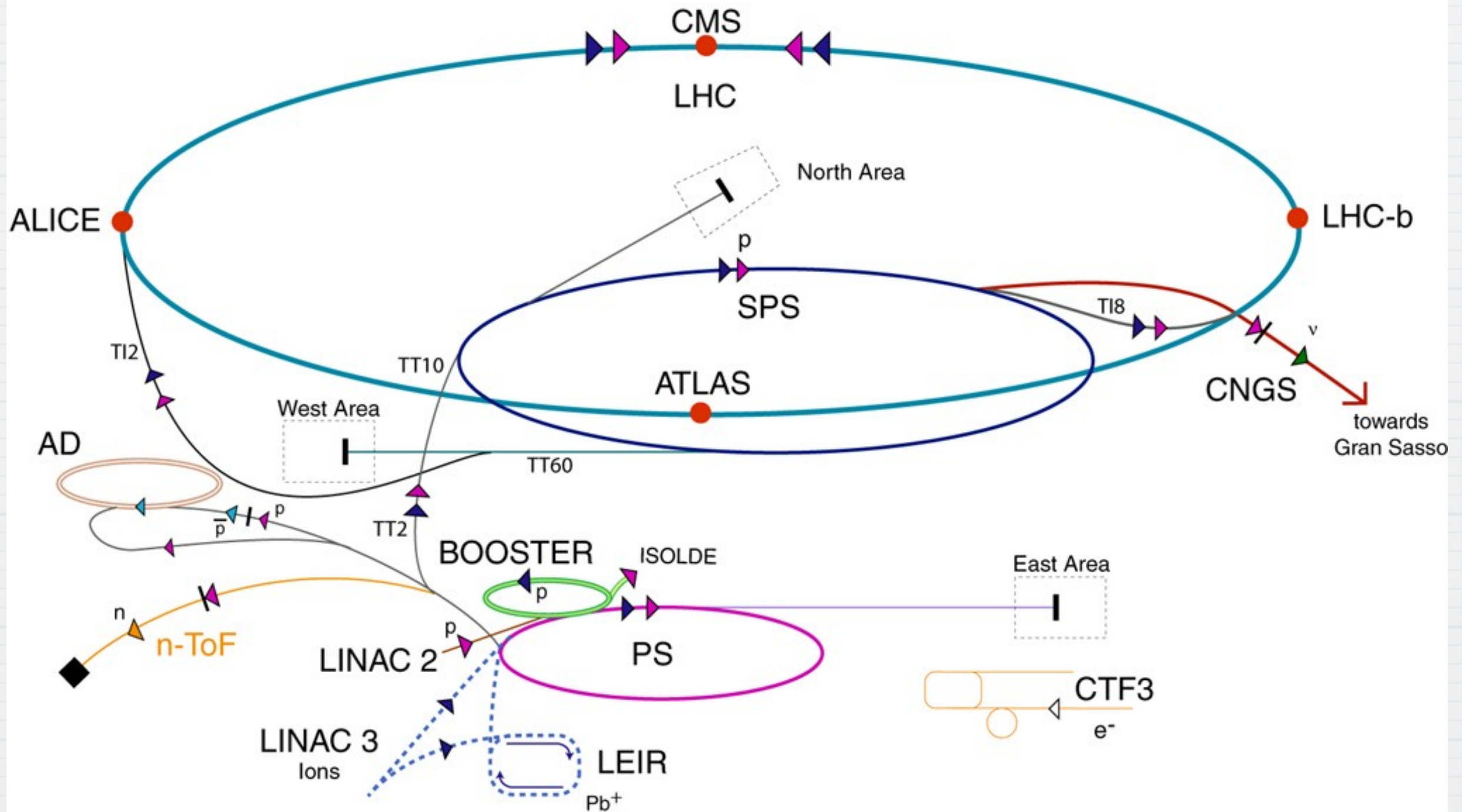
HL-LHCの物理

- ❖ まずは、探索でのエネルギーリーチの拡大
- ❖ 何かあれば精密測定

質量到達範囲の目安 (TeV)

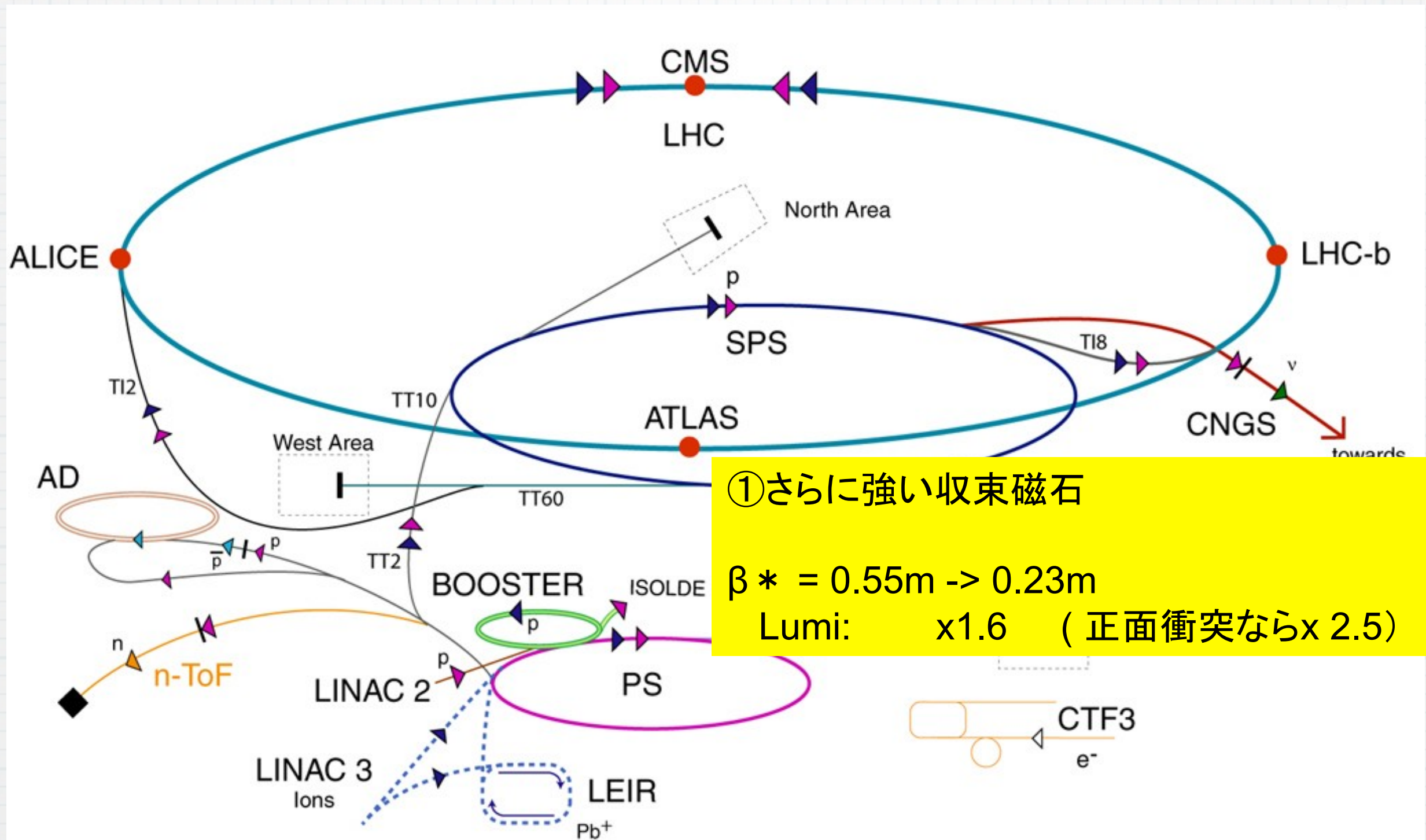
Process	LHC 14 TeV 100 fb ⁻¹	SLHC 14 TeV 1000 fb ⁻¹	DLHC 28 TeV 100 fb ⁻¹	LC 0.8 TeV 500 fb ⁻¹	CLIC 5 TeV 1000 fb ⁻¹
Squarks (TeV)	2.5	3	4	0.4	2.5
$W_L W_L$ (σ)	2	4	4.5	6	90
Z' (TeV)	5	6	8	8 [⊥]	30 [⊥]
Extra-dimens. scale (TeV)	9	12	15	5–8.5 [⊥]	30–55 [⊥]
q^* (TeV)	6.5	7.5	9.5	0.8	5
Compositeness scale (TeV)	30	40	40	100	400
TGC, λ_γ (95%CL)	0.0014	0.0006	0.0008	0.0004	0.00008

High Luminosity を得るために



- | | | | |
|------------|---------------|------------------------------|--------------------------------|
| ▶ protons | ▶ antiprotons | AD Antiproton Decelerator | LHC Large Hadron Collider |
| ▶ ions | ▶ electrons | PS Proton Synchrotron | n-ToF Neutron Time of Flight |
| ▶ neutrons | ▶ neutrinos | SPS Super Proton Synchrotron | CNGS CERN Neutrinos Gran Sasso |
| | | | CTF3 CLIC Test Facility 3 |

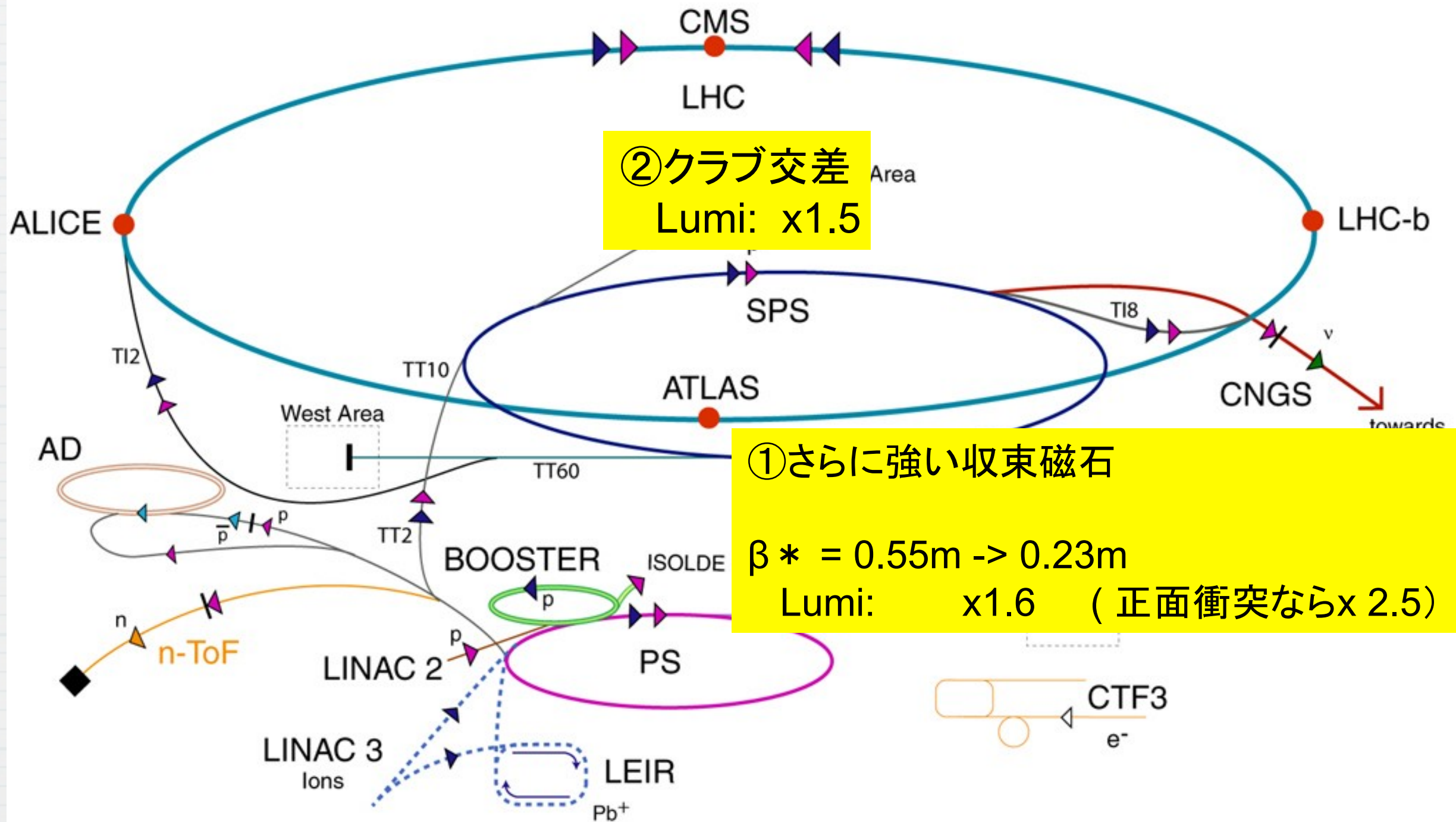
High Luminosity を得るために



①さらに強い収束磁石
 $\beta^* = 0.55\text{m} \rightarrow 0.23\text{m}$
 Lumi: x1.6 (正面衝突ならx 2.5)

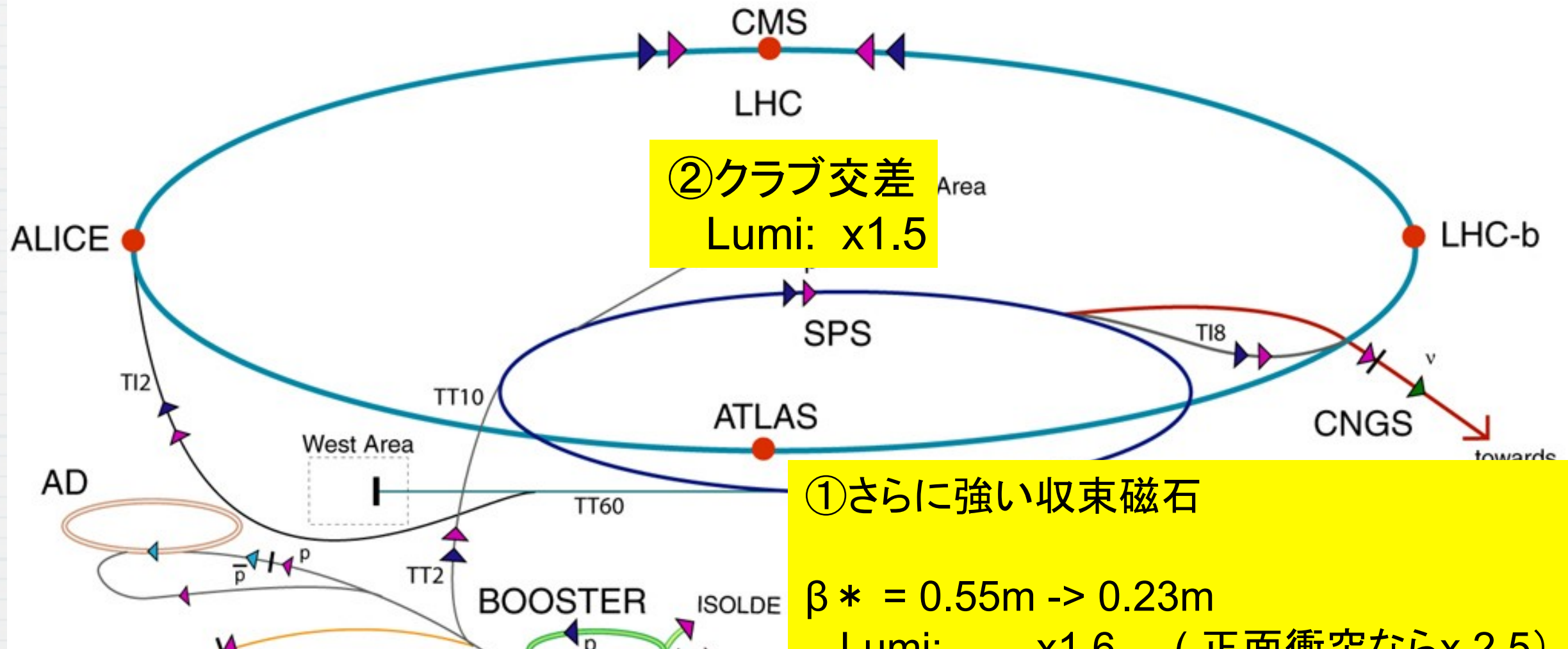
- | | | | |
|------------|---------------|------------------------------|--------------------------------|
| ▶ protons | ▶ antiprotons | AD Antiproton Decelerator | LHC Large Hadron Collider |
| ▶ ions | ▶ electrons | PS Proton Synchrotron | n-ToF Neutron Time of Flight |
| ▶ neutrons | ▶ neutrinos | SPS Super Proton Synchrotron | CNGS CERN Neutrinos Gran Sasso |
| | | | CTF3 CLIC Test Facility 3 |

High Luminosity を得るために



▶ protons	▶ antiprotons	AD Antiproton Decelerator	LHC Large Hadron Collider
▶ ions	▶ electrons	PS Proton Synchrotron	n-ToF Neutron Time of Flight
▶ neutrons	▶ neutrinos	SPS Super Proton Synchrotron	CNGS CERN Neutrinos Gran Sasso
			CTF3 CLIC Test Facility 3

High Luminosity を得るために



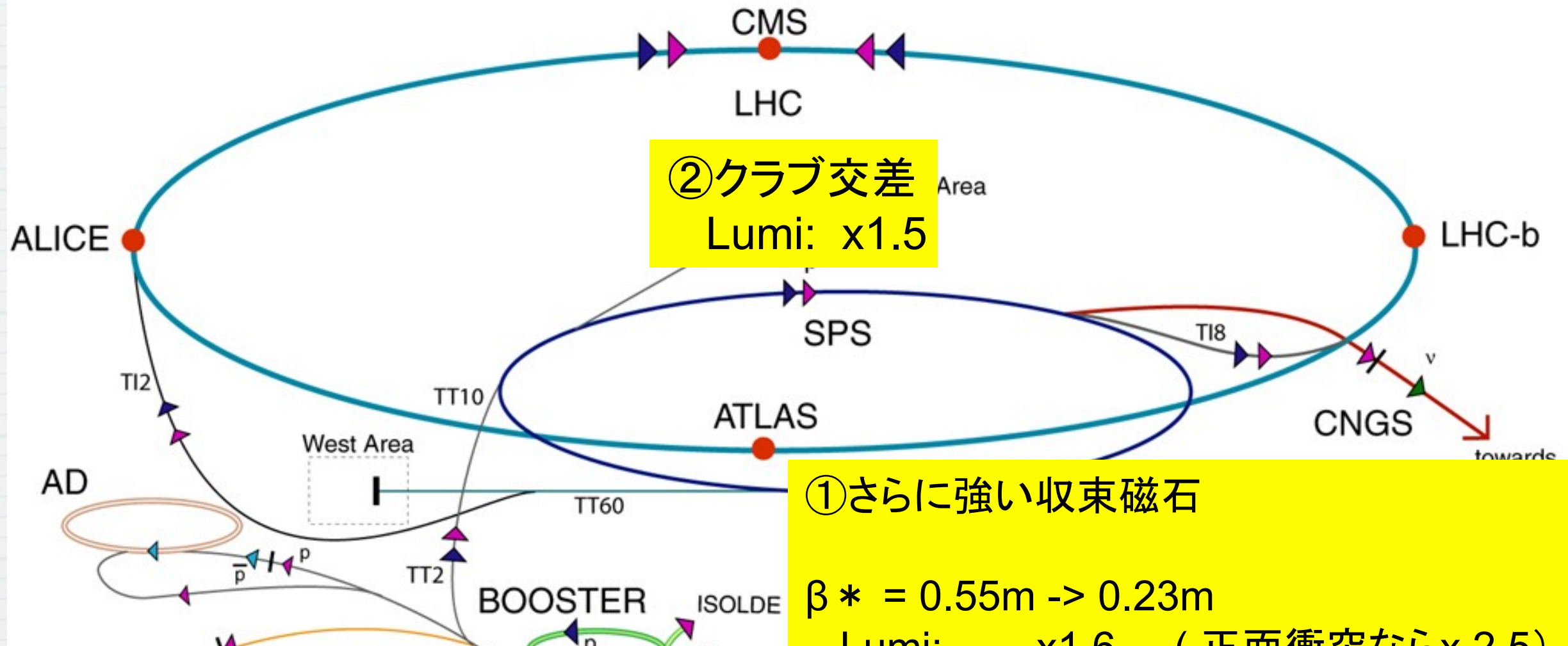
③よりたくさんのビーム
を入射: Injector upgrade
N: $1.15 \times 10^{11} \rightarrow 1.5-1.7 \times 10^{11}$
Lumi: x2-3

①さらに強い収束磁石
 $\beta^* = 0.55\text{m} \rightarrow 0.23\text{m}$
Lumi: x1.6 (正面衝突ならx 2.5)

②クラブ交差 Area
Lumi: x1.5

▶ protons	▶ antiprotons	AD Antiproton Decelerator	LHC Large Hadron Collider
▶ ions	▶ electrons	PS Proton Synchrotron	n-ToF Neutron Time of Flight
▶ neutrons	▶ neutrinos	SPS Super Proton Synchrotron	CNGS CERN Neutrinos Gran Sasso
			CTF3 CLIC Test Facility 3

High Luminosity を得るために



②クラブ交差
Lumi: x1.5

①さらに強い収束磁石

$\beta^* = 0.55\text{m} \rightarrow 0.23\text{m}$

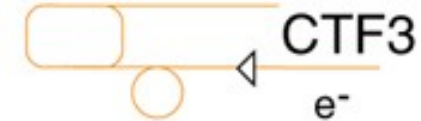
Lumi: x1.6 (正面衝突ならx 2.5)

③よりたくさんのビーム

を入射: Injector upgrade

$N: 1.15 \times 10^{11} \rightarrow 1.5 - 1.7 \times 10^{11}$

Lumi: x2-3



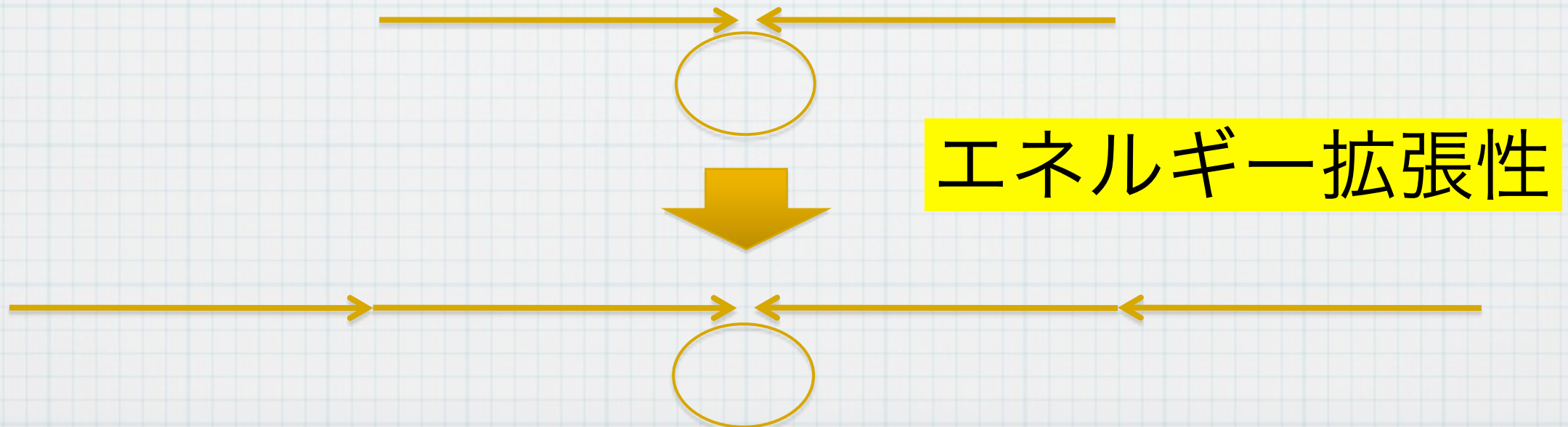
④コリメータのアップグレード

▶ protons	▶ antiprotons	AD Antiproton Decelerator	LHC Large Hadron Collider
▶ ions	▶ electrons	PS Proton Synchrotron	n-ToF Neutron Time of Flight
▶ neutrons	▶ neutrinos	SPS Super Proton Synchrotron	CNGS CERN Neutrinos Gran Sasso
			CTF3 CLIC Test Facility 3

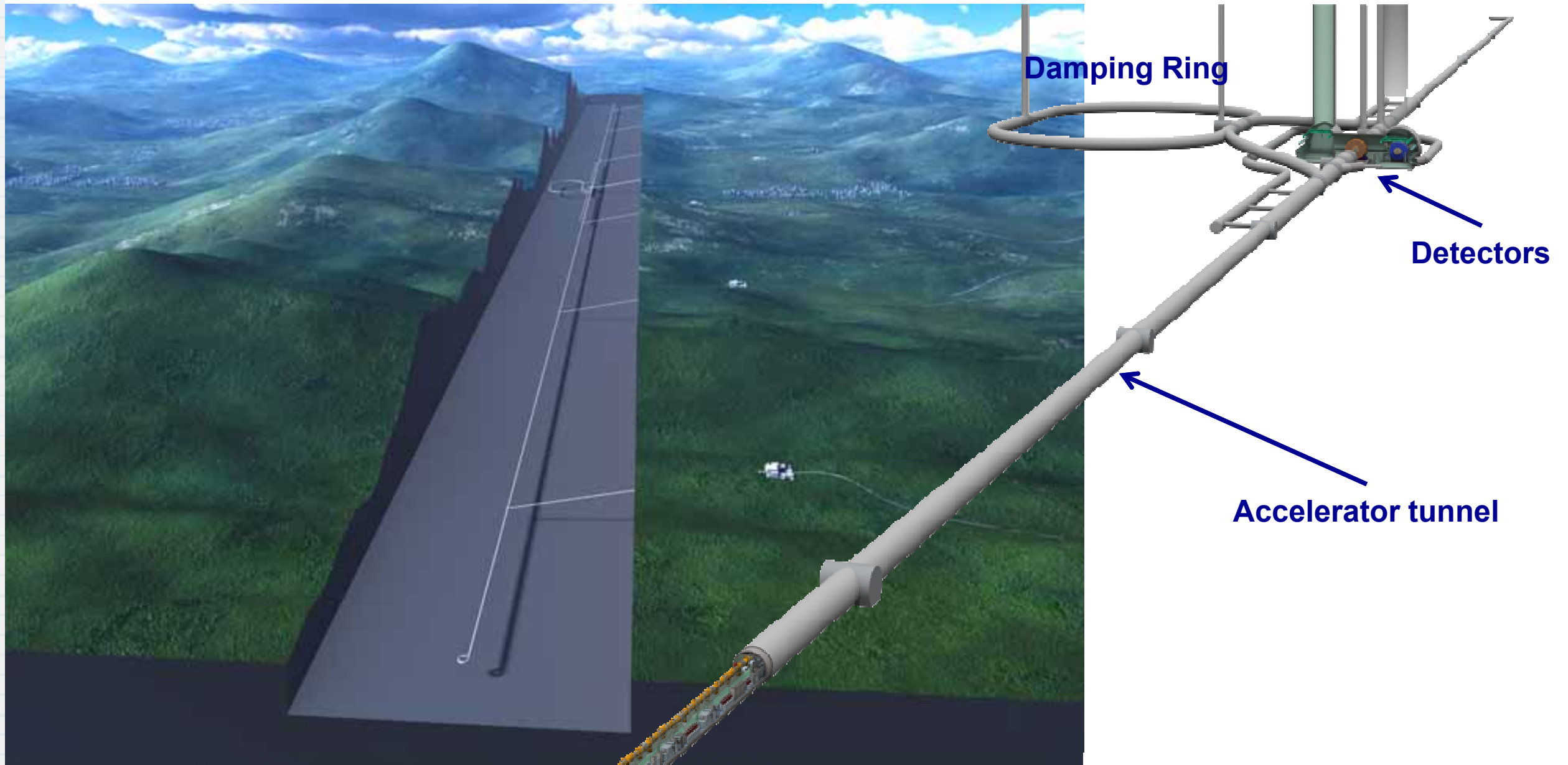
ILC はじめの一歩

❖ 最も重要なのは加速器のエネルギー

- ▶ Higgs生成 $M_{\text{higgs}} + M_z$
- ▶ Higgs自己結合 $2 \times M_{\text{higgs}} + M_z$
- ▶ 超対称性・ダークマター $2 \times \text{LSP}$
- ▶ Any pair production $2 \times M$



ILC リニアコライダー加速器(TDR)の鳥瞰図



日本の山岳地帯用トンネルデザイン

e+, e- 主リニアック

Energy : 250GeV + 250GeV

Length : 11km + 11km

of DRFS Klystron: 7280 total

of Cryomodules : 1680 total

of Cavities : 14560 total

Slide by H. Hayano

ILC Accelerator Baseline Parameter for Physics

The BASELINE:

E_{cm} adjustable from 200 – 500 GeV

Luminosity $\int L dt = 500 \text{ fb}^{-1}$ in the first 4 years ($L \sim 2 \times 10^{34} \text{ cm}^{-2} \text{ s}^{-1}$)

e^- beam polarization 80%

Upgradable: to $\sim 1 \text{ TeV}$ with 1 ab^{-1} / 3-4 years

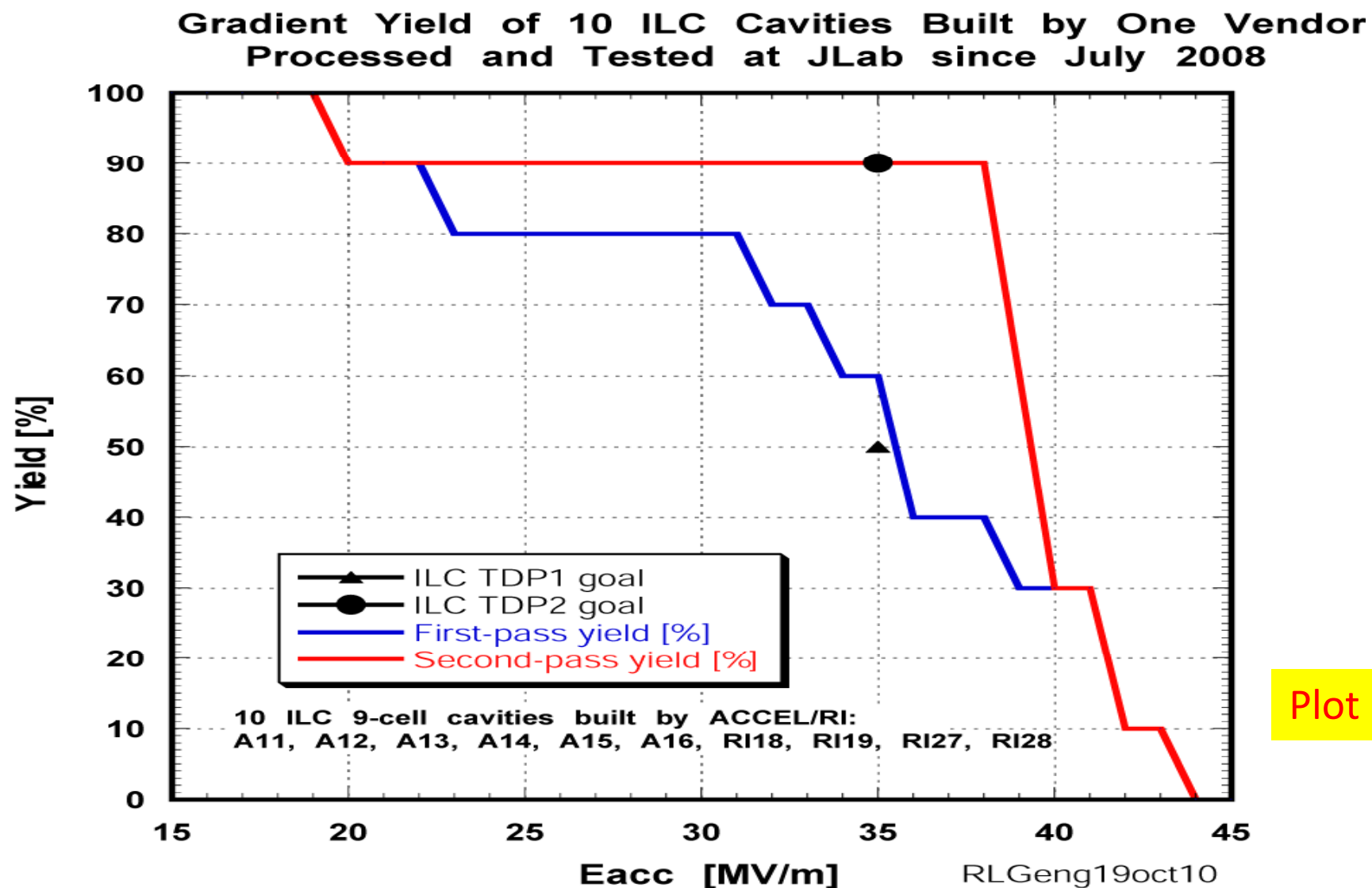
Options :

- e^+ polarization $> 50\%$
- GigaZ (high luminosity running at M_Z and $2M_W$)
- $\gamma\gamma$, $e\gamma$, e^-e^- collisions

Choice of options depends on LHC+ILC results

[<http://www.fnal.gov/directorate/icfa/para-Nov20-final.pdf>, Heuer et al]

超伝導空洞



Plot by R. Geng

Jlabにおける標準的な内面処理を行ったRI社製9セル空洞(10台)の性能歩留まりのプロット。製造受け入れ性能 $>38\text{MV/m}$ 対して、歩留まりが90%であることを表している。材料の欠陥や製造時の欠陥がなければ、この歩留まりが得られると考えられる。

良い製造会社と良い表面処理を選ぶと、ILCの最終目標である製造受け入れ性能 $>35\text{MV/m}$ で90%の歩留まり(Yield)を既に達成している。

シナリオ

提言のReminder

- ❖ LHCにおいて1TeV位までにヒッグスなどの新粒子の存在が確認された場合には、ILCによる詳細研究が大きく期待され、新しい物理の解明に最適化したILCの早期実現に尽力すべきである。特に軽い新粒子は比較的早期に発見される可能性があり、その場合低い衝突エネルギーでの研究が重要となる。今からその様な場合に適した加速器の設計研究を適宜進めていく必要がある。一方ILCのエネルギー範囲に新粒子・新現象が全く期待できない場合には、LHCおよびそのアップグレード(HL-LHC)によって間断なく新しい物理の探究を続けると共に、必要とされるエネルギーに素早く到達可能なレプトンコライダーを実現するための電子加速技術などの開発研究を日本として重点強化していく。

LHCの結果に沿ったシナリオ

9/10のタウンミーティングでの 議論を踏まえて提示

- ❖ 現在までのLHCの結果を受けて分類
 - ▶ 単純化のために以下の3つ
 - 1) 軽いヒッグスあり, New Physicsあり
 - 2) 軽いヒッグスあり, New Physicsなし
 - 3) ヒッグスなし, New Physicsなし

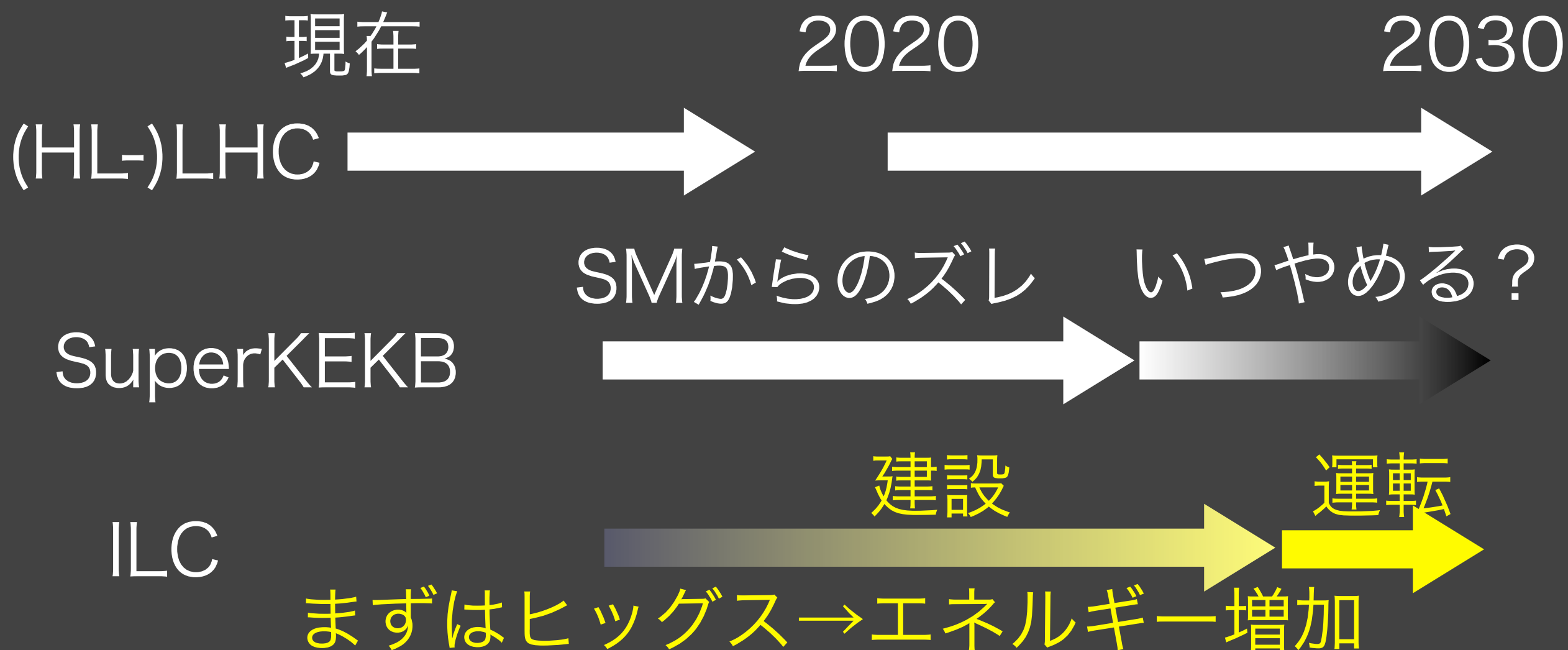
1) Higgs ある / NP ある

- ロマンチックな時代の到来
 - ❖ Higgsの精密測定
 - ▶ 結合定数, 質量, スピン, CP, 寿命
 - ❖ 新現象の同定
 - ▶ SUSY, Little Higgs, UED, etc.
 - ◎ MSSMは軽いHiggsがお好み

テラスケール物理のパラダイム

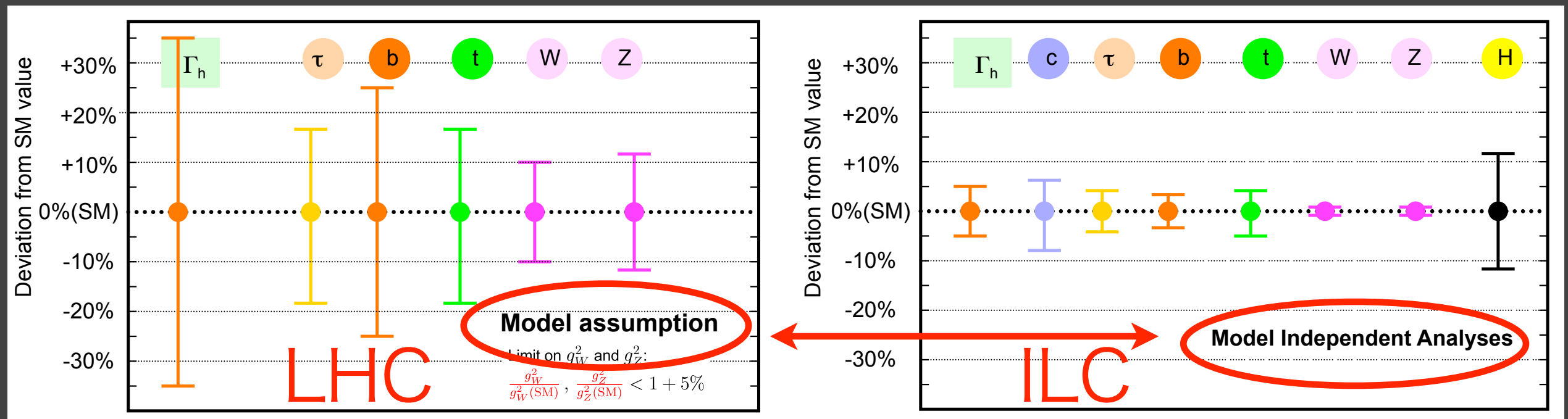
1) Higgs ある / NP ある

- LHC : 未知粒子のさらなる探索
- LHC+ILC: Higgsの精密測定, 新現象の同定



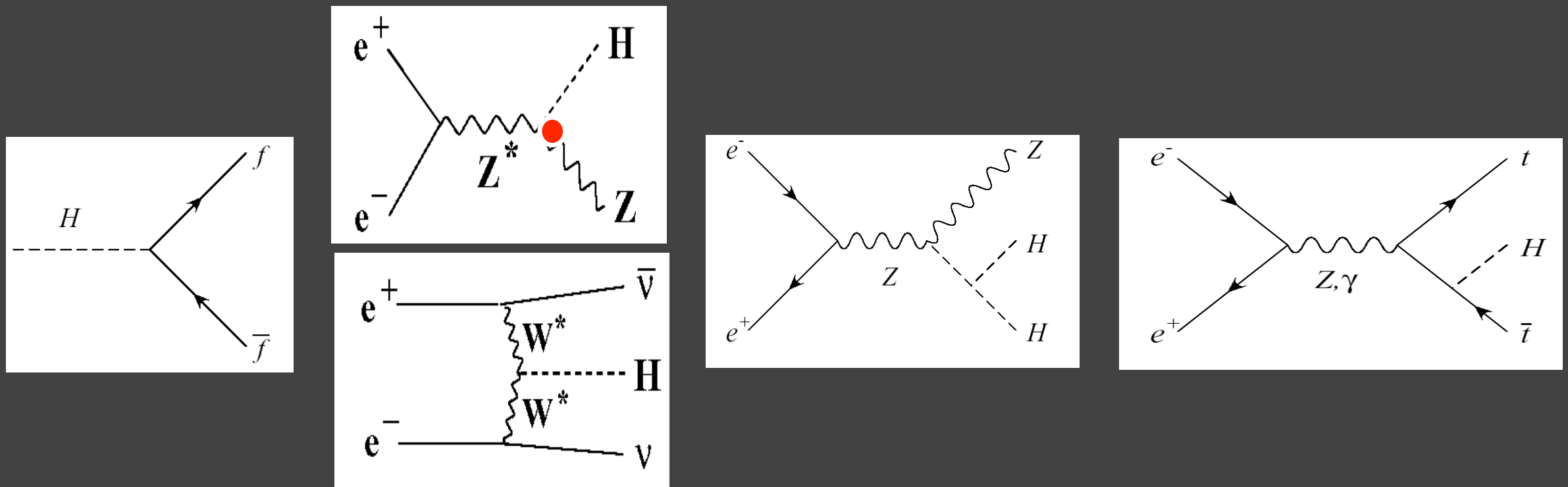
2) Higgs ある / NP ない

- 階層性問題その他, 色々な問題が未解決
- Higgsを調べ尽くす
 - ❖ SM か New Physics か
 - ❖ New Physics への手がかりを探す



Higgs Factory

- ヒッグスの性質



- 新物理が見えてないだけかもしれない
 - ❖ 将来LHCで重い新粒子が見つかる可能性
 - ⇒ ILCではエネルギー拡張できるように

2) Higgs ある / NP ない

- HL-LHCでさらに探索 + Higgsの測定
- ILCでヒッグスファクトリー

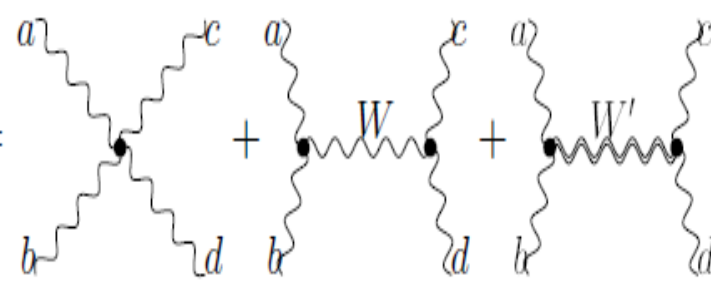


3) Higgs ない / NP ない

- GWS模型は間違ってる

- ❖ ヒッグスレス模型？

- ❖ WW散乱の精査

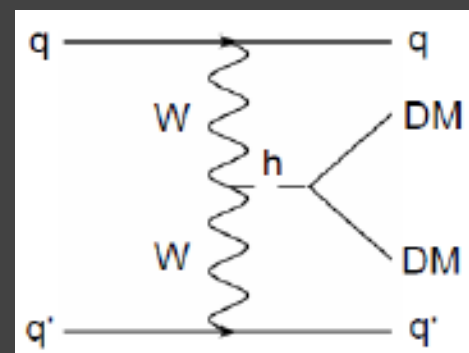
$$i\mathcal{M}(W_L^a W_L^b \rightarrow W_L^c W_L^d) =$$


The diagram shows three Feynman diagrams for the process $W_L^a W_L^b \rightarrow W_L^c W_L^d$. The first diagram is a contact interaction with four external wavy lines labeled a, b, c, d . The second diagram shows a W boson exchange between the two pairs of external lines. The third diagram shows a W' boson exchange between the two pairs of external lines.

- ヒッグスは生成されているが見えてない？

- ❖ 暗黒物質

- ❖ 余剰次元



ヒッグスポータル
暗黒物質

ないのか, 見えてないのか, の研究

3) Higgs ない / NP ない

- LHCを続ける (energy ↑の可能性?)
- HyperKEKBの可能性を考える



結論

- ❖ 素粒子物理学上の大きな謎にコライダー実験は挑んでいる
 - ▶ SuperKEKB計画での新現象探索
 - ▶ LHCの結果が今後の方向を決める
- ❖ LHCの結果に基づくシナリオを提示
 - ▶ 何かあればILC
 - ヒッグスだけのときヒッグスファクトリー
 - ▶ 見つからない場合のstudyの必要性